



(11) RO 125933 B1

(51) Int.Cl.

G01R 31/34 (2006.01),

G06F 19/00 (2006.01),

G08C 19/00 (2006.01)

(12)

## BREVET DE INVENTIE

(21) Nr. cerere: **a 2009 00420**

(22) Data de depozit: **04.06.2009**

(45) Data publicării mențiunii acordării brevetului: **30.07.2012 BOPI nr. 7/2012**

(66) Prioritate internă:  
**04.06.2008 RO a 2008 00420**

(41) Data publicării cererii:  
**30.12.2010 BOPI nr. 12/2010**

(73) Titular:  
• **GESIN RESEARCH S.R.L., ȘOS.BERCENI/NR.104, BL.T3, SECTOR 4, BUCUREȘTI, RO**

(72) Inventatori:  
• **TĂNĂSESCU GABRIEL, BD.CONSTANTIN BRÂNCOVEANU NR.111, BL.V5, ET.1, AP.1, SECTOR 4, BUCUREȘTI, B, RO;**  
• **NOTINGHER PETRU, STR.DRUMUL TABEREI NR.103, BL.A10, SC. E, AP.67, SECTOR 6, BUCUREȘTI, B, RO**

(56) Documente din stadiul tehnicii:  
**US 6529135 B1; EP 0841574 A2; US 5726911**

(54) **SISTEM ȘI METODĂ DE MONITORIZARE ȘI DIAGNOSTICARE A SISTEMELOR DE IZOLAȚIE ALE MAȘINIILOR ELECTRICE DE MEDIE ȘI MARE PUTERE**

Examinator: ing. DEACONU ANCA



Orice persoană are dreptul să formuleze în scris și motivat, la OSIM, o cerere de revocare a brevetului de inventie, în termen de 6 luni de la publicarea mențiunii hotărârii de acordare a acesteia

1 Prezenta invenție se referă la un sistem și la o metodă de monitorizare și diagnosticare a sistemelor de izolație ale mașinilor electrice (SMD SIME), utilizate pentru evaluarea  
3 integrității izolației mașinilor electrice de medie și mare putere.

5 În perioada actuală, în țara noastră, este prioritară reabilitarea mașinilor electrice de  
7 medie și mare putere, întrucât majoritatea acestora se află în funcțiune de peste 20-30 de  
ani; unele dintre ele se află într-o fază de îmbătrânire avansată și necesită testarea parametrilor infășurărilor, determinarea gradului de degradare și analiza integrității fizice a acestora.

9 În timpul fabricării și exploatarii, sistemele de izolație ale mașinilor electrice sunt  
11 supuse la o serie de solicitări de scurtă și/sau lungă durată, permanente sau temporare,  
13 constante sau variabile, de natură mecanică (forțe electromagnetice, presiuni de montaj și  
15 diluări termice, vibrații, șocuri), electrică (solicitări datorate câmpului electric produs de ten-  
17 siunile de serviciu sau de supratensiunile de natură atmosferică sau de comutație), termică  
19 (încălziri datorate pierderilor de putere din conductoare, din materialele electroizolante sau  
21 din circuite magnetice, prin frecări mecanice și de ventilație), radiații solare și ionizante,  
23 factori agresivi de mediu (oxigen, umiditate atmosferică, poluare atmosferică industrială,  
25 ceată salină, microorganisme, ciuperci, insecte). Efectele acestor solicitări, dependente de  
27 duratele și intensitățile solicitărilor, determină modificări fizico-chimice în structura sistemului  
29 de izolații (îmbătrânire fizică, îmbătrânire chimică, îmbătrânire biochimică, îmbătrânire  
mecano-chimică), care se reflectă prin reducerea performanțelor electroizolante, cu efecte  
directe sau indirecte asupra aptitudinii de funcționare și a duratei de viață a mașinii.

21 Cum performanțele în exploatare ale mașinilor electrice depind în mod esențial de  
23 stările sistemelor de izolație și în multe situații s-a constatat că defectările în sarcină ale  
25 mașinilor electrice sunt cauzate de probleme ale sistemelor lor de izolație, invenția propusă -  
27 SMD SIME - trebuie să permită, pe lângă evaluarea stării generale a mașinii monitorizate și  
29 evaluarea stărilor sistemelor acestora de izolație, atât on-line (fără deconectarea mașinii din  
sistem), cât și off-line (cu deconectarea mașinii din sistem). De altfel, în multe situații, este  
de comun acord acceptat faptul că duratele de exploatare a mașinilor electrice sunt limitate  
de duratele de viață ale sistemelor lor de izolație. Din aceste motive, sistemele de  
diagnosticare și monitorizare se referă, în principal, la această componentă a mașinilor  
electrice.

31 Cercetările efectuate în ultimii ani de principalii fabricanți și utilizatori de mașini  
33 electrice din SUA, Germania, Marea Britanie, Franța, Elveția, Japonia, China etc. se referă,  
35 îndeosebi, la diagnosticarea și monitorizarea sistemelor de izolație. Scopul acestor cercetări  
37 constă în stabilirea parametrilor care dau informațiile cele mai complete privitoare la stările  
39 sistemelor de izolație și a valorilor lor limită, realizarea de echipamente pentru măsurarea  
valorilor parametrilor aleși și achiziționarea rezultatelor și realizarea unor programe de  
calculator performante, de prelucrare și interpretare a datelor, semnalarea depășirilor  
valorilor limită admisibile și luarea unor decizii privind eventualele deconectări ale mașinilor  
electrice.

41 În cadrul Conferinței Internaționale a Marilor Rețele Electrice (CIGRE - International  
43 Council on Large Electric Systems), s-au constituit grupuri de lucru pentru elaborarea unor  
metodologii de diagnosticare și monitorizare, iar majoritatea conferințelor și simpozioanelor  
45 internaționale, privitoare la echipamentele electrice, tratează acest subiect. De asemenea,  
această preocupare se reflectă în tematicile sesiunilor științifice, organizate în cadrul  
Expoziției anuale internaționale de la Berlin, privind infășurările, izolația și fabricarea  
47 produselor electrotehnice (CWIEME - Coil Winding, Insulations & Electrical Manufacturing  
Exhibition).

# RO 125933 B1

Pe de altă parte, necesitatea elaborării unor soluții noi cu privire la monitorizarea și diagnosticarea sistemelor de izolație ale mașinilor electrice a devenit o problemă din ce în ce mai importantă și din considerente economice. De aceea, extinderea duratei de viață și optimizarea planurilor de menenanță predictivă (care permit eliminarea operațiilor de întreținere care nu sunt necesare) reprezintă punctele de principal interes ale invenției propuse. De asemenea, aceasta va permite stabilirea momentului oportun pentru scoaterea controlată a mașinii din serviciu - în vederea efectuării operațiilor de întreținere și/sau înlocuire - înainte de defectarea acestaia în timpul funcționării. Astfel, pot fi evitate pierderile de natură financiară, generate de defectarea în sarcină a mașinilor electrice.	1 3 5 7 9
În prezent, pe piața de specialitate sunt disponibile o serie de sisteme pentru monitorizarea și diagnosticarea sistemelor de izolație ale mașinilor electrice (de exemplu, soluția prezentată de brevetul US 6529135 B1), care permit evaluarea on-line și off-line a unor mărimi, cum sunt temperatura ambiantă, a rulmenților, a carcsei și a înfășurărilor, niveluri de zgomot, descărcări partiale, curenti și tensiuni pe durata funcționării, fluxul magnetic, întrefierul etc., dar și rezistența de izolație și factorul de pierderi dielectrice ale sistemului de izolație.	11 13 15
Puține sunt însă cercetările efectuate pe materiale neomegene și anizotrope sau pe sisteme de izolație ale mașinilor electrice de puteri mari. Dintre acestea, remarcăm pe cele referitoare la eșantioane din rășini epoxidice simple sau în straturi și pe eșantioane compozite. De asemenea, s-a încercat să se facă unele corectări între valorile sarcinii spațiale și curentii stimulați termic. Din păcate, măsurarea sarcinii spațiale din sistemele de izolație este relativ dificilă, iar ultimele realizări se referă doar la izolațiile cablurilor. O variantă interesantă o constituie măsurarea curentilor de absorbție/resorbție și prelucrarea curbelor de variație a acestora, pentru extragerea componentei curentului corespunzător sarcinii spațiale, componentă dependentă, deci, de gradul de îmbătrânire a sistemului de izolație.	17 19 21 23 25
Metodele și echipamentele cunoscute se axează pe anumiți parametri (descărcări partiale, vibrații etc.). Echipamentele existente nu prezintă programe de calculator de diagnosticare a stărilor mașinilor electrice și nici nu utilizează datele obținute prin măsurători off-line.	27 29
Problema tehnică pe care o rezolvă invenția constă în verificarea sistemelor de izolație a înfășurărilor mașinilor electrice de medie și mare putere, pe baza următorilor parametri măsuări: curentul și tensiunea din stator, nivelul de vibrații, turația, temperatura înfășurărilor, temperatura ambiantă, intensitatea descărcărilor partiale, precum și gradul de îmbătrânire a sistemelor de izolație, folosind măsurarea curentilor de absorbție resorbție.	31 33 35
Sistemul de monitorizare și diagnosticare a sistemelor de izolație ale mașinilor electrice de medie și mare putere înălțătură dezavantajele de mai sus, prin aceea că este constituit dintr-un bloc senzori de temperatură, un senzor de turație care transmite semnale unui traductor de turație, un bloc senzori de vibrație care transmite semnale unui traductor de vibrații, un bloc de alimentare care transmite tensiuni și curenti de alimentare unui bloc de traductoare curenti și tensiuni, un bloc cu senzori pentru descărcări partiale, care transmite semnale unui server bază de date, o placă de achiziție, două module de achiziție și un modul de conversie, primul modul de achiziție primește semnale de la blocul senzori de temperatură și de la traductorul de turație, semnale care, prin modulul de conversie, ajung la serverul bază de date, al doilea modul de achiziție primind semnale de la blocul de traductoare curenti și tensiuni, semnale care, prin modulul de conversie, sunt transmise serverului bază de date, care mai primește semnale prin intermediul plăcii de achiziție de la traductorul de vibrații.	37 39 41 43 45 47

Metoda de monitorizare, pusă în aplicare de sistemul prezentat mai sus, utilizează o aplicație specializată de monitorizare și diagnosticare, compusă din patru subaplicații specializate, astfel: o subaplicație de achiziție, transmisie și prelucrare primară a datelor on-line, o subaplicație de stocare on-line, o subaplicație de vizualizare locală și la distanță on-line și o subaplicație de diagnosticare off-line care, în scopul monitorizării, subaplicația de achiziție, transmisie și prelucrare primară a datelor on-line inițializează achiziția datelor de la timpul  $t = 0$ , apoi se introduc datele furnizate de modulele de achiziție și de placa de achiziție, care sunt tensiuni, curenti, temperaturi, turație, vibrații, semnale preluate de la senzorii montați pe mașina electrică supravegheată, se calculează coeficientul de încărcare, temperatura medie a înfășurării, erorile de curent și tensiune față de valorile nominale, erorile temperaturilor măsurate față de temperatura nominală, iar la ultimul pas se realizează incrementarea timpului cu  $\Delta t$ , la sfârșitul achiziției și prelucrării primare a datelor, după care se revine la al doilea pas, de unde se reia o nouă achiziție de date, de la un alt moment de timp, după care subaplicația de stocare on-line introduce datele furnizate de subaplicația de achiziție, stochează datele primite în serverul baza de date, precum și stochează alarmele, dacă este cazul, iar subaplicația de vizualizare locală și la distanță on-line vizualizează blocurile de încărcare, descărcări partiale, vibrații, durată de viață rămasă, iar la pasul P17, se realizează incrementarea timpului cu  $\Delta t$ , la sfârșitul vizualizării on-line a datelor, după care se revine la pasul de inițializare a vizualizării, de unde se reia o nouă vizualizare de date, de la un alt moment de timp.

Prin aplicarea inventiei, se obțin următoarele avantaje:

- echipamentul realizat va permite și achiziționarea, stocarea și prelucrarea unor informații rezultate din măsurătorile initiale sau măsurătorile off- și/sau on-line ale altor parametrii caracteristici ai sistemelor de izolație, utili pentru evaluarea stării de îmbătrânire a sistemelor de izolație ale mașinilor electrice (SIME) și luarea de decizii privind eventualele deconectări ale mașinilor electrice și evitarea defectării lor;
- partea de vizualizare și analiză nu afectează sistemul de achiziție, stocare și prelucrare a datelor on-line.

Se dă, în continuare, un exemplu de realizare a inventiei, în legătură cu fig. 1...27, care reprezintă:

- fig. 1, schema bloc a sistemului de monitorizare on-line;
- fig. 2a, principiul măsurării curentilor de absorbtie și resorbție;
- fig. 2b, dispozitiv pentru măsurarea curentilor de absorbtie și resorbție;
- fig. 3, arhitectura soluției de monitorizare;
- fig. 4, interfața aplicației de stocare a datelor EStocare;
- fig. 5, interfața EMonitor;
- fig. 6, interfața WebConsole;
- fig. 7, interfața DiagElectric;
- fig. 7a, diagrama subaplicației de achiziție, transmisie și prelucrare primară a datelor on-line EServer;
- fig. 7b, diagrama subaplicației de stocare a datelor on-line EStocare;
- fig. 7c, diagrama subaplicației de vizualizare locală sau la distanță on-line EMonitor/WebConsole;
- fig. 7d, diagrama subaplicației de diagnosticare off-line DiagElectric pentru determinarea stării mașinii electrice supravegheate;
- fig. 7e, diagrama subaplicației de diagnosticare off-line DiagElectric pentru determinarea stării sistemului de izolație;
- fig. 7f, diagrama subaplicației de diagnosticare off-line DiagElectric pentru determinarea stării înfășurărilor;

# RO 125933 B1

- fig. 7g, diagrama sub-aplicației de diagnosticare off-line DiagElectric pentru determinarea principalelor caracteristici electrice;	1
- fig. 7h, diagrama subaplicației de diagnosticare off-line DiagElectric pentru determinarea stării sistemului de răcire și a unor caracteristici diverse;	3
- fig. 7i, diagrama subaplicației de diagnosticare off-line DiagElectric pentru determinarea stării întregului echipament;	5
- fig. 8, structura softului de analiză off-line;	7
- fig. 9, diagrama subaplicației de diagnosticare off-line DiagElectric pentru estimarea duratei de viață rămase;	9
- fig. 10, datele generale ale mașinii testate;	
- fig. 11, alarme;	11
- fig. 12, analiza încărcării;	
- fig. 13, analiza duratei de viață;	13
- fig. 14, analiza vibrațiilor;	
- fig. 15, aplicația pentru achiziția descărcărilor partiale;	15
- fig. 16, raport privind descărcările partiale;	
- fig. 17, analiza curentului (faza A);	17
- fig. 18, analiza curentului (faza B);	
- fig. 19, analiza curentului (faza C);	19
- fig. 20, analiza tensiunilor de alimentare;	
- fig. 21, analiza temperaturilor înfășurărilor;	21
- fig. 22, starea izolației;	
- fig. 23, încercarea cu tensiune mărită;	23
- fig. 24, analiza curenților de absorție;	
- fig. 25, analiza curenților de resorbție;	25
- fig. 26, termoviziune;	
- fig. 27, determinare stare motor.	27
Sistemul de monitorizare și diagnosticare, conform fig. 1, conține un bloc senzori de temperatură <b>BSTemp</b> , un senzor de turație <b>ST</b> , care transmite semnale unui traductor de turație <b>TT</b> , un bloc senzori de vibrație <b>BSV</b> , care transmite semnale unui traductor de vibrații <b>TV</b> , un bloc de alimentare <b>BA</b> , care transmite tensiuni și curenți de alimentare unui bloc de traductoare curenți și tensiuni <b>BTCT</b> , un bloc cu senzori pentru descărcări partiale <b>BSDP</b> , care transmite semnale unui server bază de date <b>SBD</b> , o placă de achiziție <b>PA</b> , două module de achiziție <b>MA1</b> și <b>MA2</b> și un modul de conversie <b>MC</b> . Modulul de achiziție <b>MA1</b> primește semnale de la blocul senzori de temperatură <b>BSTemp</b> și de la traductorul de turație <b>TT</b> , semnale care prin modulul de conversie <b>MC</b> , ajung la serverul bază de date <b>SBD</b> . Al doilea modul de achiziție <b>MA2</b> primește semnale de la blocul de traductoare curenți și tensiuni <b>BTCT</b> , semnale care, prin modulul de conversie <b>MC</b> , sunt transmise serverului bază de date <b>SBD</b> , care mai primește semnale, prin intermediul plăcii de achiziție <b>PA</b> , de la traductorul de vibrații <b>TV</b> .	29
Așa cum se observă din fig. 1, structura sistemului de achiziție este modulară, putându-se realiza și monta ușor, fără a afecta celelalte componente (senzori, calculator, rețea etc.).	41
Legăturile de la senzori vor intra în șirurile de cleme ale cutiei în care sunt dispuse echipamentele de achiziție. Toate cablurile vor fi inscripționate, pentru a se ști de unde vin.	43
Toate semnalele ce intră în șirul de cleme vor merge după cum urmează:	45
- semnalele de la termocouplele din blocul senzori de temperatură <b>BSTemp</b> vor merge direct în primul modul de achiziție <b>MA1</b> ;	47

# RO 125933 B1

- semnalele de tensiune și curent din blocul de alimentare **BA** vor merge în traductoarele corespunzătoare din blocul de traductoare curenti și tensiuni **BTCT**;
- semnalul de la senzorul de turație **ST** va merge la traductorul de turație **TT** corespunzător, apoi la modulul de achiziție **MA1**;
- semnalele de la blocul senzori de vibrație **BSV**, prin traductorul de vibrații **TV**, vor merge în placa de achiziție **PA**, fiind apoi transmise serverului bază de date **SBD**;
- semnalele de la blocul cu senzori pentru descărcări partiale vor merge în portul serial RS 232 al serverului bază de date **SBD**.

În acest mod, toate semnalele ajung la modulele de achiziție **MA1** și **MA2**, și respectiv, la placa de achiziție **PA**. Semnalele de la modulele de achiziție **MA1** și **MA2** sunt preluate, prin intermediul modulului de conversie **MC** (I 7520), și transferate, prin interfața serială RS 232, serverului bază de date **SBD** (care este un calculator specializat), unde sunt achiziționate, stocate și prelucrate.

Blocul senzori de temperatură **BSTemp** conținește șapte termocuple, pentru a detecta temperatura din mașina electrică, dar și a mediului ambiant. Se utilizează termometre cu rezistență PT 100, cu conectare prin trei conductori. Aceștia se vor instala în stator, respectiv, în exteriorul mașinii. Intervalul de temperatură este -50 ...+200°C, atât pentru senzorii folosiți în stator, cât și pentru mediul ambiant. Convertorul de măsurare trebuie să se încadreze în următoarea gamă de măsură: conexiune Q/3 - conductor PT 100; precizia măsurării: 0,1°C/cifră; intervalul de măsurare: -250...+850°C.

Senzorul de turație **ST** (de tip Ni3-EG08K-Y1) se utilizează pentru măsurarea turației, împreună cu un convertor de frecvență/curent (de tip MK21 - 122-Ri) ce poate lucra până la 60 kHz. În secundarul convertorului vom obține un semnal de 4...20 mA.

Blocul senzori de vibrație **BSV** folosește senzori de vibrații (de tip MTN 1185C). Se utilizează doi senzori de vibrații montați sub lagăre, în gama de măsură 0 - 100 cm/s, pentru temperaturi de la -25 până la +100°C. Acest senzor este folosit pentru a măsura accelerarea carcasei statorului, senzorul fiind montat pe carcasa statorului. Se măsoară componenta accelerării perpendiculare pe peretele cuvei. Ca traductor de măsurare, se folosește o placă de achiziție **PA** (de tip NI 6009), pentru a realiza achiziția semnalului în gama de frecvență 0 - 1000 Hz.

Blocul de traductoare curenti și tensiuni **BTCT** conține traductoare de curent (de tip SINEAX I 538) care se utilizează pentru măsurarea curentilor. Traductoarele de curent sunt cu separare galvanică între primar și secundar, alegându-se tipul corespunzător curentilor nominali ai mașinii electrice sau putând fi alimentați din secundarele transformatoarelor de curent folosite pentru măsurarea curentilor de alimentare ai mașinii monitorizate. În cazul nostru, folosim traductoare ce în primar suportă maximum 5 A, iar în secundarul traductoarelor vom obține un semnal de 4...20 mA.

Blocul de traductoare curenti și tensiuni **BTCT** mai conține traductoare de tensiune (de tip SINEAX U 539) care se utilizează pentru măsurarea curentilor. Traductoarele de tensiune sunt cu separare galvanică între primar și secundar, alegându-se tipul corespunzător transformatoarelor de tensiune folosite pentru măsurarea tensiunii de alimentare a mașinii monitorizate. În cazul nostru, folosim traductoare ce în primar suportă maximum 100 V, iar în secundarul traductoarelor vom obține un semnal 4...20 mA.

Blocul cu senzori pentru descărcări partiale **BSDP** conține senzori pentru descărcări partiale (de tip PDTrac). Descărcările partiale sunt semnale de frecvență radio măsurate în gama MHz, produse de microarcele electrice și scânteierile care apar în izolația de înaltă tensiune. În cazul utilizării detecției electrice a descărcărilor partiale, vom utiliza sistemul

# RO 125933 B1

PDTac, în care se vor utiliza senzori cu capacitate de 80 nF, la o tensiune de 6,9 kV, în gama de frecvențe de 0 ...1 MHz. Sistemul utilizează cuploare PDA cu condensatoare pe bază de mică.	1 3
Pentru modulele de achiziție <b>MA1</b> și <b>MA2</b> , având în vedere fiabilitatea, prețul scăzut, precum și condițiile de mediu în care funcționează, s-au folosit module de achiziție de tipul M 7019 R. Pentru trecerea de la RS 485 la RS 232, se folosesc module de tipul I 7520, cu următoarele caracteristici tehnice:	5 7
- intrări analogice cu 8 canale diferențiale; intrări de tipul: mV, V, mA; tremocuplu; rata de eșantionare de 8 S/s; banda de frecvență de 5.24 Hz; precizie de 0.15%; izolație de 3000 Vcc; modbus RTU;	9
- sursa de alimentare cu tensiunea de alimentare de 10...30 Vcc; putere absorbită de 1.2 W;	11
- gama de temperatură de lucru de -25...+75°C.	13
Placa de achiziție <b>PA</b> (de tip NI - 6009) are următoarele caracteristici tehnice:	
- intrări analogice cu 8 canale simple/4 canale diferențiale; 2 ieșiri analogice; intrări de tipul: $\pm 1 \dots \pm 20$ V; rata de eșantionare de 48 kS/s; banda de frecvență de 150 Hz; rezoluție de 32 biți;	15 17
- sursa de alimentare cu tensiune de alimentare de 10...30 Vcc; putere absorbită de 1.2 W;	19
- gama de temperatură de lucru de 0...+55°C.	
Serverul bază de date <b>SBD</b> este o mașină specializată (calculator) care stochează toată informația preluată de mașina de achiziție și pune informația la dispoziția serverului web, rețelei locale din stație (IntraLAN) sau unui calculator conectat la Internet, prevăzut cu o aplicație desktop specială. Mașina își va face singură o copie de siguranță, la un anumit interval de timp. Serverul bază de date <b>SBD</b> are trei legături: una către internet, una către rețeaua locală din stație și o legătură către mașina de achiziție (Sistem de operare de tip: Microsoft Windows Server 2003, Baza de date: Microsoft SQL Server 2005).	21 23 25 27
Firewallul (echipamentul care izolează două rețele de calculatoare una de alta) este o mașină optională, folosită pentru o sporire a securității serverului de date. El reprezintă poarta de intrare din internet a serverului de date. Mașina se poate înlocui și cu un router (sistem de operare de tip Linux).	29 31
Serverul WEB este destinat afișării parametrilor de la orice mașină și prelucrarea lor. Pe serverul web este o subaplicație <b>WebConsole</b> (fig. 6), care servește la vizualizarea, prelucrarea și compararea parametrilor. Aceste funcționalități se pot face de oriunde din Internet (prin intermediul web-ului) bineînțeles cu anumite măsuri de securitate. Practic, pe serverul de web, va fi un site prin care se poate ajunge la informația stocată de la orice mașină electrică supravegheată (sistem de operare de tip Linux).	33 35 37
Structura sistemelor de izolație a mașinilor electrice rotative nu este așa complexă ca cea a sistemelor de izolație a transformatorilor electriți, aceasta explicându-se în primul rând că mașinile electrice nu se construiesc pentru tensiuni mai mari de 25 kV, decât în cazuri excepționale.	39 41
Componentele principale ale sistemelor de izolație ale mașinilor electrice sunt următoarele: izolația de creștătură; izolația între bobine; izolația între straturi și spire; izolația între straturi și între spire (izolația între straturile și spirele adiacente aflate în aceeași creștătură); izolația conductorului (izolație care înconjoară conductoarele elementare legate în paralel); izolația capetelor de bobină (între capătul de bobină și suportul capătului de bobină, dacă acesta din urmă nu este izolat); izolația terminalelor.	43 45 47

1 Componentele sistemelor de izolație enumerate mai sus nu se regăsesc în toate  
2 tipurile de mașini. Sistemul de izolație al turbo și hidrogeneratoarelor mari este mult mai  
3 complex, acesta conținând toate componentele amintite mai sus. La motoarele de curent  
5 alternativ, de puteri mici și pentru tensiuni nominale joase, de exemplu, la cele asincrone,  
7 sistemul de izolație este foarte simplu, fiind constituit din izolația de email a conductorului  
cele electrice.

9 La mașinile electrice rotative de putere mare, cum sunt turbogeneratoarele de câteva  
sute de MW ale centralelor electrice, solicitarea electrică a izolației este tot atât de importantă  
11 ca și solicitarea mecanică provocată de mișcări și dilatarea termică. În timpul funcționării,  
izolația se defectează ca urmare a efectului comun al acestor solicitări.

13 Statisticile arată ca ieșirea din funcțiune a turbo și hidrogeneratoarelor de mare putere  
este datorată, în proporție de cel puțin 20%, deteriorărilor și degradării izolației (oboseală,  
15 îmbătrânire timpurie).

17 În timpul funcționării, mașinile electrice sunt supuse la numeroase solicitări. Acestea  
sunt de natură termică, electrică și mecanică, și au ca rezultat, în general, degradarea  
sistemului de izolație.

19 Degradarea sistemului de izolație poate fi lentă, drept consecință a fenomenelor de  
îmbătrânire, oboseală și umezire (care cuprinde întreaga masă a sistemului de izolație) sau  
21 rapidă, datorită unor defecte ascunse, nedescoperite la încercări și care ies la iveală în  
perioada de rodaj (probe tehnologice).

23 Dacă pentru primul tip de degradare a sistemului de izolație (degradarea lentă), există  
multe metode de verificare, cel de-al doilea tip (degradarea rapidă) este dificil de pus în  
25 evidență la încercările izolației. În cadrul încercărilor pentru cel de-al doilea tip, se pune  
accent deosebit pe verificarea izolațiilor de crestătură, dintre spire și dintre bobinele  
27 statorului, care în trecut era realizată din dolii de mică impregnate cu pastă compound, iar  
mai recent pe suporturi de benzi sintetice impregnate în rășini sintetice.

29 La o mașină electrică trebuie verificat atât statorul, cât și rotorul. În general, înfăsu-  
rările rotorului sunt de joasă tensiune, verificarea lor necesită un volum mai mic de teste.

31 În afară de izolația statorică și rotorică, la mașinile electrice mai trebuie verificată și  
izolația altor elemente, ca de exemplu, cea a colectorului, inelelor colectoare, precum și a  
33 portperiilor și a plăcii de borne.

35 Scopul principal al încercărilor este verificarea izolației înfăsurărilor față de armăturile  
mașinii și verificarea izolației dintre spire.

37 La mașinile electrice rotative trifazate cu neutrul accesibil și demontabil, este ușor de  
verificat izolația între faze, cu ajutorul unei surse de tensiune externă. La cele care au neutrul  
39 inaccesibil, verificarea izolației între faze se face cu tensiune indusă, similar ca la  
transformatoarele de putere. În cazul generatoarelor mici, a hidrogeneratoarelor și a  
motoarelor asincrone, este recomandată și verificarea izolației între spire.

41 Verificarea izolației statorului mașinilor de curent alternativ se face cu tensiuni de  
încercare de 50 Hz sau cu tensiuni redresate echivalente, măsurându-se, de asemenea, și  
43 rezistența de izolație, coeficientul de pierderi dielectrică și intensitatea descărcărilor partiale.  
Rotorul mașinilor de curent alternativ, statorul și rotorul mașinilor de curent continuu se  
45 verifică cu tensiuni de încercare de 50 Hz sau cu tensiuni continue, măsurându-se rezistența  
de izolație sau coeficientul de absorbție.

47 În ceea ce privește încercarea izolației între spire și bobine, se preferă încercările cu  
impulsuri de tensiune sau de curent, având în vedere sensibilitatea mărită a metodei din  
49 punct de vedere al defectoscopiei.

# RO 125933 B1

O particularitate a încercării izolației mașinilor rotative o constituie capacitatea relativ mare (de ordinul microfarazilor) a obiectului de încercat.	1	
În ceea ce privește monitorizarea și diagnosticarea on-line a mașinilor electrice, trebuie făcută distincție între monitorizare și diagnosticare. Monitorizare înseamnă achiziție de date, dezvoltarea senzorilor și dezvoltarea metodelor pentru determinarea condiției mașinilor electrice. Diagnosticarea este pasul următor monitorizării și cuprinde interpretarea datelor măsurate "off-line" (indirect) și "on-line" (direct).	3	
În timpul funcționării, mașinile electrice sunt supuse la numeroase solicitări. Acestea sunt de natură termică, electrică și mecanică, și au ca rezultat, în general, degradarea sistemului de izolație. Degradarea presupune reducerea calității izolației. Descărcările locale pot duce la distrugerea înfășurărilor și pot rezulta puncte calde. Fenomenul degradării trebuie folosit pentru obținerea de informații necesare măsurătorilor. Pentru estimarea duratei de viață rămase și pentru realizarea unui sistem de avertizare rapid, cele mai importante mărimi măsurate, pentru monitorizarea "on-line" sunt încărcarea mașinii, condițiile de exploatare ale acestuia, analiza descărcărilor parțiale, nivelul zgromotului, analiza vibrațiilor, temperatura, analiza curentilor de absorbție/resorbție.	7	
Parametrii urmăriți la monitorizarea on-line sunt: temperatura înfășurărilor; temperatura ambiantă; curentul și tensiunea din stator; intensitatea descărcărilor parțiale; nivel vibrații; turația.	9	
Pentru estimarea duratei de viață rămase și pentru realizarea unui sistem de avertizare rapid, se urmăresc următorii parametri: încărcarea mașinii electrice; îmbătrânirea termică; condiția izolației complexe; eficiența sistemului de răcire; automatizări și protecții ca semnalizări, protecții și automatizări; determinarea spectrului de vibrații; determinarea nivelului descărcărilor parțiale.	11	
Sistemul de monitorizare constă din trei componente de bază: senzori <b>BSTemp</b> , <b>ST</b> , <b>BSV</b> , <b>BSDP</b> , module de conversie analog-digitală <b>MC</b> și serverul bază de date <b>SBD</b> , echipat cu un sistem de achiziție, pentru analiză și prelucrarea datelor. Tabelul arată gradul maxim de întindere a sistemului de monitorizare. Trei tensiuni și patru curenti pot fi măsurăți, inclusiv curentul pe conductorul de nul, pe partea de înaltă tensiune. Aceste semnale sunt furnizate de trei senzori de tensiune și patru senzori de curent, care se montează în cutia special destinată releeelor și senzorilor.	23	
<i>Tabel</i>	33	
<i>Mărimile ce pot fi achiziționate</i>		
<b>Mărime măsurată</b>	<b>Nr. Senzori</b>	<b>Observații</b>
TENSIUNI	3	
CURENTI	3+1	
TEMPERATURI	6+1	
VIBRAȚII	2	
DETERMINAREA NIVELULUI DESCĂRCĂRILOR PARȚIALE	3	
		35
		37
		39
		41
Aceasta permite calcularea puterii tranzitatate de mașina electrică. De asemenea, se poate efectua analiza multirezoluție a tensiunilor și curentilor.	43	

Măsurarea temperaturii în partea superioară și inferioară, și măsurarea temperaturii mediului ambiant ne furnizează informații despre procesul răcirei și eficienței răcirei. În funcție de temperaturile ce se vor culege, numărul senzorilor se poate modifica. O posibilitate a sistemului de monitorizare este aceea de a determina spectrul de vibrații al mașinii electrice prin achiziționarea semnalelor de la doi senzori piezoelectrici montați pe carcasa mașinii electrice, prin suport magnetic. Locurile unde se fixează senzorii se vor determina după măsurătorile inițiale de vibrații, care au rolul de a stabili punctele de măsură, în scopul distanțării de grupele de răcire.

Elementul de noutate a metodei de monitorizare implementată pe SMD SIME constă în măsurarea curentilor de absorție și resorbție (fig. 2) cu dispozitivul ID-1000, prezentat în fig. 2b. Principiul de măsurare a curentilor de absorție și resorbție constă în aplicarea unei tensiuni continue, pentru o anumită durată de timp, la armăturile de arie A ale unui condensator și măsurarea curentilor care străbat dielectricul de grosime  $g$  al acestuia. La aplicarea unei tensiuni treaptă  $U_0$ , condensatorul absoarbe un curent variabil în timp, a căruia intensitate  $i_a(t)$  este dată de suma a patru componente.

$$i_a(t) = i_i(t) + i_p(t) + i_{ss}(t) + i_c(t) \quad (1)$$

în care  $i_i(t)$  reprezintă intensitatea curentului de încărcare a condensatorului având ca dielectric vidul,  $i_p(t)$  - intensitatea curentului de polarizarea,  $i_{ss}(t)$  - intensitatea curentului aferent sarcinii spațiale și  $i_c(t)$  - intensitatea curentului de conduction.

Componenta  $i_i(t)$  corespunde încărcării condensatorului în absența dielectricului (respectiv, pentru  $\epsilon = \epsilon_0$ ) și se anulează foarte repede, motiv pentru care nu se înregistrează în măsurătorile actuale.

Componenta  $i_p(t)$  corespunde fenomenului de polarizare a dielectricului condensatorului, respectiv, unor deplasări spațiale foarte reduse, a unui număr foarte mare de sarcini legate (particule sau grupuri de particule constitutive ale moleculelor dielectricului) și care își recapătă pozițiile inițiale la anularea tensiunii. Curentul de polarizare  $i_p(t)$  se anulează ușor în timp, după aplicarea tensiunii continue  $U_0$ .

Componenta  $i_{ss}(t)$  corespunde sarcinii spațiale aflate în volumul dielectricului, generată în timpul proceselor tehnologice de fabricație a acestuia (prin fracturarea moleculelor etc.), al proceselor de degradare în exploatare (termică, electrică, mecanică, radiativă etc), prin injecția de purtători datorată muchiilor nerontujite și protuberanțelor electrozilor etc. Purtătorii de sarcină sunt fixați datorită defectelor prezente în dielectric și se deplasează în interiorul dielectricului la stabilirea câmpului electric (o parte dintre ei putând ajunge la armăturile condensatorului). Cum aceștia, fie sunt refixați de alte defecte situate îndeosebi la interfețele dintre zonele omogene ale dielectricului, fie ajung la electrozi (concentrația acestora scăzând în timp), curentul  $i_{ss}(t)$  se anulează după un anumit interval de timp.

Curentul de conduction  $i_c(t) = I_c$  (fig. 2a) se datorează convectiei electronilor, golorilor, ionilor și molionilor. Concentrațiile fiecărei specii de purtători de sarcină depind, printre altele, de natura chimică și de structura fizică a dielectricului condensatorului. Această componentă a curentului nu se modifică în timp (de la aplicarea și până la anularea tensiunii) și permite determinarea experimentală a conductivității (rezistivității) electrice a dielectricului.

Dacă condensatorul cu eșantionul supus testării este scurtcircuitat la momentul  $t = t_c$ , se poate măsura curentul de resorbție  $i_r(t)$ :

$$i_r(t) = i_d(t) + i_{dp}(t) + i_{ss}(t) \quad (2)$$

# RO 125933 B1

în care $i_d(t)$ reprezintă intensitatea curentului de descărcare a condensatorului având drept dielectric vid, $i_{dp}(t)$ este intensitatea curentului de depolarizare și $i_{ss}(t)$ reprezintă intensitatea curentului corespunzător sarcinii spațiale.	1 3
Intensitatea curentului de polarizare prezintă valori importante în sistemele de izolație polare și, îndeosebi, a celor pe bază de celuloză, aflate în medii cu umiditate ridicată. În aceste cazuri $i_{ss}(t) \ll i_p(t)$ . Cum și curentul de conductie este relativ redus ( $i_c(t) \ll i_p(t)$ ), se consideră, pentru $t_c > t_0$ (fig.2), $i_a(t) = i_p(t)$ și se definește indicele de polarizare $k_p$ și factorul de conductivitate $k_c$ (pentru o tensiune dată $U_0$ ):	5 7 9
$k_p = \frac{i_a(60)}{i_a(600)}$	11
$k_c = \frac{i_a(30) - i_r(30)}{i_a(60) - i_r(60)}$	13 15
în care $i_{a,r}$ (30, 60, 600) reprezintă valorile curentilor de absorbție și resorbție după 30, 60 și 600 s de la aplicarea tensiunii continue $U_0$ .	17
Deoarece apa este puternic polară ( $\epsilon_r = 81$ ), componenta $i_p(t)$ crește cu conținutul de apă din izolație, iar mărurile $k_p$ și $k_c$ pot fi utilizate pentru caracterizarea "stării de umezire" a sistemelor de izolație. De asemenea, experiența practică a arătat că durata de măsurare a curentilor trebuie să fie cât mai mare, astfel încât curentul de absorbție să ajungă la valoarea curentului de conductie, iar curentul de resorbție să se anuleze. Astfel, cu ajutorul valorii curentului de conductie $I_c$ , se poate calcula conductivitatea electrică $\sigma_0$ (sau rezistivitatea eșantionului testat):	19 21 23 25
$\sigma_0 = \frac{I_c}{U_0} \cdot \frac{g}{A}$	27 29
Astfel, analizând valorile curentilor de absorbție și resorbție, măsurăți între diferite borne ale mașinii electrice sau între o bobină și miezul magnetic, se pot obține informații mai clare cu privire la starea de îmbătrânire a sistemelor acestora de izolație, iar starea generală a acestiei poate fi estimată cu o mai mare acuratețe.	31 33 35
Datorită arhitecturii aplicației specializate de monitorizare și diagnosticare, soluția de monitorizare este extrem de flexibilă, aşa cum este prezentată în fig. 3.	37
Componenta aplicației specializate de vizualizare și diagnosticare oferă:	
- achiziția și stocarea cu vizualizare locală;	39
- achiziția și stocarea cu vizualizare la distanță;	41
- achiziția și stocarea cu vizualizare locală și la distanță;	43
- achiziționarea datelor oferite de către mai multe sisteme electrice cu stocare pe un singur server sau pe mai multe servere.	45
Tehnologiile folosite în dezvoltarea aplicației specializate sunt tehnologii folosite în aria enterprise, de aceea soluția conform inventiei se cataloghează ca o soluție software enterprise.	45

Aplicația specializată de monitorizare și diagnosticare este compusă din patru subaplicații specializate:

- o subaplicație de achiziție, transmisie și prelucrare primară a datelor on-line **Eserver**;

- o subaplicație de stocare on-line **EStocare**;

- o subaplicație de vizualizare locală și la distanță on-line **EMonitor** și **WebConsole**;

- o subaplicație de diagnosticare off-line **DiagElectric**.

Un beneficiu important al soluției de monitorizare, conform inventiei, este faptul că partea de vizualizare și analiză nu afectează sistemul de achiziție, stocare și prelucrare a datelor on-line.

Subaplicația de achiziție, transmisie și prelucrare primară a datelor on-line **Eserver**, conform fig. 7a, constă dintr-un prim pas **P1**, la care se pornește subaplicația **Eserver**, apoi la al doilea pas **P2** se inițializează achiziția datelor de la timpul  $t=0$ , la pasul **P3** se introduc datele furnizate de modulele de achiziție **MA1** și **MA2**, și de placă de achiziție **PA**, care sunt tensiuni, curenți, temperaturi, turări, vibrații, semnale preluate de la senzorii montați pe mașina electrică supravegheată, la pasul **P4** se calculează coeficientul de încărcare, temperatură medie a înfășurării, erorile de curent și tensiune față de valorile nominale, erorile temperaturilor măsurate față de temperatura nominală, la ultimul pas **P5**, se realizează incrementarea timpului cu  $\Delta t$  ( $t=t+\Delta t$ ), la sfârșitul achiziției și prelucrării primare a datelor, după care se revine la pasul **P2**, de unde se reia o nouă achiziție de date, de la un alt moment de timp.

Subaplicația **Eserver** este nucleul sistemului de monitorizare și lucrează cu echipamentele hardware, identificând informațiile achiziționate și le oferă în rețea. Subaplicația **Eserver** recunoaște fiecare tip de senzor și deține protocolul de comunicație cu senzorii. Prelucrarea datelor achiziționate se face într-un mod particularizat fiecărui domeniu căruia îi este destinată soluția de monitorizare. Achiziția de pe un server poate urmări mai multe echipamentele electrice (motor, transformator etc), rata de eșantionare fiind reglabilă. Subaplicația **Eserver** funcționează sub mediul Microsoft Windows Server sub forma unui web service.

Subaplicația de stocare a datelor **EStocare**, conform fig. 7b, constă din pasul **P6**, la care se pornește subaplicația **EStocare** (fig. 4), la pasul **P7** se inițializează stocarea datelor de la timpul  $t=0$ , la pasul **P8** se introduc datele furnizate de subaplicația **Eserver**, la pasul **P9** se stochează datele primite în baza de date, la pasul **P10** se stochează alarmele, dacă este cazul, iar la ultimul pas **P11**, se realizează incrementarea timpului cu  $\Delta t$  ( $t=t+\Delta t$ ), la sfârșitul stocării datelor, după care se revine la pasul **P7**, de unde se reia o nouă stocare de date, de la un alt moment de timp.

Subaplicația **EStocare** este o aplicație care rulează sub mediul Microsoft Windows Server, preia datele oferite de către subaplicația **Eserver** și le stochează într-o bază de date.

Subaplicația **EStocare** se poate configura pentru a satisface nevoile fiecărui beneficiar. Stocarea poate fi configurată pentru un singur sau mai multe servere de achiziție.

Subaplicația **EStocare** este independentă de mediul bazei de date folosit, poate să lucreze cu cele mai recunoscute sisteme de baze de date relaționale, și anume Oracle, MS SQL, MySQL, PostgreSQL. Intervalul la care se face stocarea este și el configurabil. O altă facilitate importantă este faptul că, dacă se dorește stocarea datelor de la un nou server de achiziție, stocarea celorlalte servere de achiziție, aflate sub monitorizare, nu este întreruptă și nici vizualizarea, acest lucru făcându-se fără a afecta în vreun fel sistemul de monitorizare.

# RO 125933 B1

Această parte a sistemului este responsabilă, de asemenea, cu memorarea alarmelor care apar pe durata monitorizării. O alarmă este descrisă complet de momentul apariției depășirii unei anumite limite. De menționat este că această aplicație poate lipsi, dacă beneficiarul sistemului nu dorește o diagnosticare pe o perioadă lungă.	1 3
Facilitățile oferite de către subaplicația <b>EStocare</b> sunt: stocarea datelor independent de tipul bazei de date folosite; configurarea intervalului de stocare de la distanță prin intermediul aplicațiilor de vizualizare; stocarea simultană a mai multor puncte aflate sub monitorizare.	5 7
Subaplicația de vizualizare on-line a datelor, locală sau la distanță <b>EMonitor</b> sau <b>WebConsole</b> (fig. 5, fig.6 și fig. 7c) constă dintr-un prim pas <b>P12</b> , la care se pornește subaplicația <b>EMonitor</b> sau subaplicația <b>WebConsole</b> , la pasul <b>P13</b> se inițializează vizualizarea locală sau la distanță de la timpul $t=0$ , la pasul <b>P14</b> se introduc datele furnizate de subaplicația <b>EStocare</b> , la pasul <b>P15</b> se vizualizează blocurile de încărcare, descărcări parțiale, vibrații, durată de viață rămasă, iar la pasul <b>P17</b> , se realizează incrementarea timpului cu $\Delta t$ ( $t=t+\Delta t$ ), la sfârșitul vizualizării on-line a datelor, după care se revine la pasul <b>P13</b> , de unde se reia o nouă vizualizare de date, de la un alt moment de timp.	9 11 13 15
Subaplicația <b>EMonitor</b> (fig. 5) este o subaplicație desktop care rulează sub mediul Microsoft Windows și a fost creată pentru ca operatorul să poată analiza și vizualiza on-line local datele achiziționate și stocate de către sistemul de monitorizare. Tot prin intermediul acestei subaplicații, se pot vizualiza și analiza datele istorice ale parametrilor.	17 19
Facilitățile oferite de către subaplicația <b>EMonitor</b> sunt: afișarea datelor on-line în format numeric și grafic; funcții de analiză ca analiza încărcării, analiza răciri, analiza descăr cărilor parțiale, analiza vibrațiilor, analiza off-line, calculul duratei de viață consumate/restante; afișarea și configurarea alarmelor; configurarea intervalului de urmărire on-line a datelor; afișarea datelor de sistem.	21 23 25
Subaplicația <b>WebConsole</b> (fig. 6) este o subaplicație web care funcționează sub un server Apache 2.2 - PHP 5. Ea este independentă de sistemul de operare, putând funcționa atât pe Linux, cât și pe Microsoft Windows. Subaplicația <b>WebConsole</b> se accesează printr-un browser web, apelând adresa serverului unde este instalată sub-aplicația. Subaplicația <b>WebConsole</b> permite vizualizarea on-line a datelor simultan, după mai multe puncte de achiziție, astfel operatorul putând să facă o comparație între datele achiziționate după echipamente electrice diferite. Aplicația permite și observarea evoluției în timp a datelor, accesând subaplicația de stocare <b>EStocare</b> . Vizualizarea datelor se poate face atât în format numeric, cât și în format grafic.	27 29 31 33
Facilitățile oferite de către subaplicația <b>WebConsole</b> sunt: vizualizare on-line a datelor după mai multe puncte monitorizate; vizualizare în format numeric și format grafic; configurarea alarmelor; configurarea intervalului de urmărire în timp a datelor; afișarea istoricului datelor stocate de către <b>EStocare</b> ; documentație privitor la datele afișate.	35 37
Subaplicația de diagnosticare a datelor off-line <b>DiagElectric</b> , pentru determinarea stării mașinii electrice supravegheate (conform fig. 7d), constă dintr-un prim pas <b>P18</b> , la care se pornește subaplicația de diagnosticare <b>DiagElectric</b> , la următorul pas <b>P19</b> se introduc toate datele mașinii electrice supravegheate ca: rezistențe de izolație, capacitate, tangenta unghiului de pierderi a infășurărilor; rezistențe de izolație anexe ca lagăre, buloane, traductoare etc; încercări cu tensiune mărită; determinări globale ca descărcări parțiale, curenți de absorbtie/resorbție, vibrații, termografie etc.; rezistențe ohmice ale infășurărilor; caracteristici electrice la mers în gol, la pornire etc.; stare sistem răcire; diverse alte caracteristici ca valoare întrefier etc., la pasul <b>P20</b> se realizează determinarea stării sistemului de	39 41 43 45 47

1 izolație, determinarea stării înfășurărilor, determinarea principalelor caracteristici electrice,  
3 determinarea stării sistemului de răcire și a unor caracteristici diverse, la pasul P21 se  
realizează diagnosticarea stării echipamentului, iar la ultimul pas P22 se oprește subaplicația  
de diagnosticare **DiagElectric**.

5 Pe baza datelor introduse din buletinele de măsurători, cu ajutorul subaplicației de  
7 diagnosticare a datelor **DiagElectric**, se poate determina starea unei mașini electrice într-o  
9 anumită perioadă de timp, și în anumite condiții (de exploatare, de climă etc.), afișându-se,  
dacă este cazul, mesaje pentru avertizarea operatorului, în cazul depășirii limitelor pentru  
toate valorile parametrii. Dacă valorile măsurate sunt în limitele admisibile, la sfârșit, se memorează  
11 toate valorile parametrilor în baza de date.

13 Diagnosticarea se poate realiza și parțial, fie pentru determinarea stării sistemului de  
15 izolație, fie pentru determinarea stării înfășurărilor, fie pentru determinarea principalelor  
caracteristici electrice, fie pentru determinarea stării sistemului de răcire și a unor  
caracteristici diverse, fie pentru determinarea stării echipamentului, prin către o subaplicație  
de diagnosticare a datelor **DiagElectric** specifică.

17 Subaplicația de diagnosticare a datelor off-line **DiagElectric**, pentru determinarea  
19 stării sistemului de izolație, conform fig. 7e, constă din pasul P23, la care se pornește  
21 subaplicația specifică **DiagElectric**, la pasul P24 se introduc datele de intrare specifice  
23 sistemului de izolație ca: rezistențe de izolație, capacitate, tangenta unghiului de pierderi a  
25 înfășurărilor; rezistențe de izolație anexe ca lagăre, bloane, traductoare etc.; încercări cu  
27 tensiune mărită; determinări globale ca descărcări parțiale, curenti de absorbție/resorbție,  
vibrății, termografie etc., la pasul P25 se calculează rata de creștere a capacitatii, la pasul  
P26 se realizează comparația dintre parametrii sistemului de izolație ca: rezistențele de  
izolație cu valorile limită, tangenta unghiului de pierderi cu valorile limită, dacă a rezistat la  
încercările cu tensiune mărită, nivelul vibrățiilor cu cel limită, nivelul descărcărilor parțiale cu  
cele limită, curba curentilor de absorbție cu cea inițială, cu valori impuse de CEI (Comisia  
Electrotehnică Internațională), la pasul P27 se afișează date și alarme (dacă este cazul), iar  
la ultimul pas P28 se oprește subaplicația specifică **DiagElectric**.

29 Subaplicația de diagnosticare a datelor off-line **DiagElectric**, pentru determinarea  
31 stării înfășurărilor (fig. 7f), constă din pasul P29, la care se pornește subaplicația specifică  
33 **DiagElectric**, la pasul P30 se introduc datele de intrare specifice înfășurărilor ca: rezistențe  
35 ohmice stator, rezistențe ohmice rotor, la pasul P31 se calculează eroarea între faze și  
eroarea pe aceeași fază, la pasul P32 se realizează comparația dintre parametrii înfășurărilor  
ca: rezistențele ohmice cu valorile de fabrică, erorile cu valorile limită, cu valori impuse de  
CEI, la pasul P33 se afișează date și alarme (dacă este cazul), iar la ultimul pas P34 se  
oprește subaplicația specifică **DiagElectric**.

37 Subaplicația de diagnosticare a datelor off-line **DiagElectric**, pentru determinarea  
39 principalelor caracteristici electrice (fig. 7g), constă din pasul P35, la care se pornește  
41 subaplicația specifică **DiagElectric**, la pasul P36 se introduc datele de intrare specifice  
43 principalelor caracteristici electrice ca: curentul de mers în gol, curentul de pornire, cuplul de  
pornire, vibrății, timp de pornire, la pasul P37 se realizează comparația dintre parametrii  
principalelor caracteristici electrice ca: curentul de mers în gol, curentul de pornire, cuplul de  
45 pornire, timpul de pornire, nivelul vibrățiilor, cu valorile preseritte sau impuse, la pasul P38  
se afișează date și alarme (dacă este cazul), iar la ultimul pas P39 se oprește subaplicația  
specifică **DiagElectric**.

47 Subaplicația de diagnosticare a datelor off-line **DiagElectric**, pentru determinarea  
stării sistemului de răcire și a unor caracteristici diverse, conform fig. 7h, constă din pasul  
P40, la care se pornește subaplicația specifică **DiagElectric**, la pasul P41 se introduc datele

# RO 125933 B1

de intrare specifice sistemului de răcire etc. ca: stare sistem de răcire, valoare întrefier, rezistențe ohmice ale reostatelor de pornire etc., la pasul P42 se realizează comparația dintre parametrii sistemului de răcire și a unor caracteristici diverse ca: starea sistemului de răcire cu cea normală, valoarea întrefierului cu cea prescrisă, valoarea rezistențelor ohmice cu cele prescrise, la pasul P43 se afișează date și alarme (dacă este cazul), iar la ultimul pas P44 se oprește subaplicația specifică DiagElectric.	1
Subaplicația de diagnosticare a datelor off-line DiagElectric, pentru determinarea stării echipamentului, conform fig. 7i, constă din pasul P45, la care se pornește subaplicația specifică DiagElectric, la pasul P46 se introduc datele de intrare specifice stării echipamentului precum: calitative de la fiecare bloc de analiză, rapoarte de expertiză, analize etc., la pasul P47 se calculează calificativul general, se determină durata de viață rămasă și se precizează timpul de menenanță, la pasul P48 se afișează date și alarme (dacă este cazul), iar la ultimul pas P49 se oprește subaplicația specifică DiagElectric.	7
Aplicația specializată de monitorizare și diagnosticare, conform inventiei, permite o evaluare a tuturor parametrilor la un moment dat, precum și evoluția acestora în timp. Cu alte cuvinte, evoluția fiecărui parametru, pe lângă faptul că este comparată cu valoarea limită (afișându-se și un mesaj de eroare în cazul depășirii acesteia), este monitorizată, putând fi vizualizată în orice moment. Se reușește, pe lângă realizarea unei excelente baze de date, și urmărirea evoluției fiecărui parametru, putându-se diagnostica corect și fără echivoc starea mașinii monitorizate.	15
Cu ajutorul acestei aplicații specializate, pentru monitorizarea și diagnosticarea mașinilor electrice de putere, conform inventiei, se poate determina cu precizie starea acestora și rezerva duratei de viață, asigurând cunoașterea (vizualizarea) stării mașinilor electrice în orice moment. De asemenea, se pot prelucra datele în scopul stabilirii tendinței de evoluție în timp a parametrilor mașinilor electrice.	21
Determinarea stării mașinii electrice cuprind:	23
a) Analiza de încercări cu tensiune alternativă unde se urmăresc următorii parametri: verificarea la tensiunea de ținere; capacitatea și tangenta unghiului de pierderi dielectrice; măsurarea zgomotului și a vibrațiilor; determinarea nivelului descărcărilor parțiale.	25
b) Analiza de încercări cu tensiune continuă unde se urmăresc următorii parametri: măsurarea rezistențelor de izolație și a coeficienților de absorbție; verificarea nivelului de ținere; încercări cu tensiune de impuls; măsurarea rezistenței ohmice.	27
c) Analiza încercări nestandardizate unde se urmăresc parametrii prin tehnica wavelet sau metoda CABS (măsurarea curenților de absorbție resorbție).	29
Subaplicația de diagnosticare și analiză pentru estimarea duratei de viață rămase (fig. 9) constă într-un prim pas P50 în care se introduc rezultatele măsurătorii off-line, la pasul P51 se introduc rezultatele obținute la analiza off-line ca: încercări cu tensiune alternativă, încercări cu tensiune continuă, încercări nestandardizate, la pasul P52 se realizează analiza rezultatelor, la pasul P53 se introduce istoricul mașinii electrice supravegheata, la pasul P54 se introduc datele generale și statistice ca: puncte slabe, rată de defect, aprecieri făcute de experti, alte date statistice, la pasul P55 se calculează probabilitatea de defect, la pasul P56 se calculează analiza siguranței în exploatare, iar la ultimul pas P57 se calculează valoarea estimată a duratei sigure de viață rămase.	31
Estimarea duratei de viață rămase se va efectua pe baza modelului din fig. 9, luând în considerare și rezultatele determinării stăriilor mașinilor electrice prin monitorizare off-line. Conform analizei off-line, al cărei principiu este prezentat în fig. 8, (realizată cu ajutorul monitorizării off-line), prima problemă care se pune este determinarea stării mașinii electrice.	35
	41
	43
	45
	47

1 Rezultatele obținute la determinarea stării mașinii electrice, cu ajutorul monitorizării off-line,  
3 sunt analizate pentru a putea estima atingerea limitelor de către aceștia. Urmează analiza  
5 globală a parametrilor pentru fiecare componentă a mașinii, rezultând o concluzie (starea  
7 unității, gradul de îmbătrânire). Pe baza datelor generale și statistice, se pot determina, în  
funcție de analiza efectuată, rate de defect. Urmează analiza din punctul de vedere al  
siguranței în exploatare. Analiza rezultatelor, împreună cu probabilitățile de defect din viața  
mașinii electrice, asigură estimarea duratei sigure de viață a mașinii electrice.

9 Exemplul de realizare a invenției, prezentat mai sus, nu este în niciun caz unul  
limitativ, existând și alte modalități de realizare a sistemului și metodei de monitorizare și  
diagnosticare, fără a ieși din cadrul invenției de față.

11 În vederea verificării performanțelor echipamentului SMD SIME, au fost efectuate încercări experimentale pe un motor ale cărui date nominale sunt prezentate în fig. 10. Astfel, au  
13 fost analizate următoarele: alarmele (fig. 11), încărcarea mașinii (fig. 12), durata de viață  
15 (fig. 13), vibrațiile (fig. 14), descărcările partiale (fig. 15-16), curentii pe cele trei faze (fig. 17-19),  
17 tensiunile de alimentare (fig. 20), temperaturile înfășurărilor (fig. 21), starea izolației (fig. 22),  
rezultatele privind încercări cu tensiune mărită (fig. 23), curentii de absorbtie și resorbție  
(fig. 24-25), termogramele în infraroșu (fig. 26). De asemenea, în final, a fost analizată starea  
generală a mașinii testate, iar calificativele acordate sunt prezentate în fig. 27.

# RO 125933 B1

## Revendicări

1. Sistem de monitorizare și diagnosticare a sistemelor de izolație ale mașinilor electrice de medie și mare putere, caracterizat prin aceea că este constituit dintr-un bloc senzori de temperatură ( <b>BSTemp</b> ), un senzor de turație ( <b>ST</b> ) care transmite semnale unui traductor de turație ( <b>TT</b> ), un bloc senzori de vibrație ( <b>BSV</b> ) care transmite semnale unui traductor de vibrații ( <b>TV</b> ), un bloc de alimentare ( <b>BA</b> ) care transmite tensiuni și curenti de alimentare unui bloc de traductoare curenti și tensiuni ( <b>BTCT</b> ), un bloc cu senzori pentru descărcări parțiale ( <b>BSDP</b> ) care transmite semnale unui server bază de date ( <b>SBD</b> ), o placă de achiziție ( <b>PA</b> ), două module de achiziție ( <b>MA1, MA2</b> ) și un modul de conversie ( <b>MC</b> ), primul modul de achiziție ( <b>MA1</b> ) primește semnale de la blocul senzori de temperatură ( <b>BSTemp</b> ) și de la traductorul de turație ( <b>TT</b> ), semnale care prin modulul de conversie ( <b>MC</b> ) ajung la serverul bază de date ( <b>SBD</b> ), al doilea modul de achiziție ( <b>MA2</b> ) primind semnale de la blocul de traductoare curenti și tensiuni ( <b>BTCT</b> ), semnale care, prin modulul de conversie ( <b>MC</b> ), sunt transmise serverului bază de date ( <b>SBD</b> ), care mai primește semnale prin intermediul plăcii de achiziție ( <b>PA</b> ) de la traductorul de vibrații ( <b>TV</b> ).	1
2. Metodă de monitorizare și diagnosticare a sistemelor de izolație ale mașinilor electrice de medie și mare putere, caracterizată prin aceea că utilizează o aplicație specializată de monitorizare și diagnosticare, compusă din patru subaplicații specializate, astfel: o subaplicație de achiziție, transmisie și prelucrare primară a datelor on-line ( <b>Eserver</b> ), o subaplicație de stocare on-line ( <b>Estocare</b> ), o subaplicație de vizualizare locală și la distanță on-line ( <b>EMonitor, WebConsole</b> ) și o subaplicație de diagnosticare off-line ( <b>DiagElectric</b> ) care, în scopul monitorizării, subaplicația de achiziție, transmisie și prelucrare primară a datelor on-line ( <b>Eserver</b> ) initializează achiziția datelor ( <b>P2</b> ) de la timpul $t=0$ , apoi se introduc datele furnizate ( <b>P3</b> ) de modulele de achiziție ( <b>MA1, MA2</b> ), și de placă de achiziție ( <b>PA</b> ), care sunt tensiuni, curenti, temperaturi, turație, vibrații, semnale preluate de la senzorii montați pe mașina electrică supravegheată, se calculează ( <b>P4</b> ) coeficientul de încărcare, temperatura medie a înfășurării, erorile de curent și tensiune față de valorile nominale, erorile temperaturilor măsurate față de temperatura nominală, iar la ultimul pas ( <b>P5</b> ), se realizează incrementarea timpului cu $\Delta t$ , la sfârșitul achiziției și prelucrării primare a datelor, după care se revine la al doilea pas ( <b>P2</b> ), de unde se reia o nouă achiziție de date, de la un alt moment de timp, după care subaplicația de stocare on-line ( <b>Estocare</b> ) introduce datele ( <b>P8</b> ) furnizate de subaplicația de achiziție ( <b>Eserver</b> ), stochează datele ( <b>P9</b> ) primite în serverul bază de date ( <b>SBD</b> ), precum și stochează ( <b>P10</b> ) alarmele, dacă este cazul, iar subaplicația de vizualizare locală și la distanță on-line ( <b>EMonitor, WebConsole</b> ) vizualizează ( <b>P15</b> ) blocurile de încărcare, descărcări parțiale, vibrații, durată de viață rămasă, iar apoi se realizează incrementarea timpului ( <b>P17</b> ) cu $\Delta t$ , la sfârșitul vizualizării on-line a datelor, după care se revine la pasul de initializare a vizualizării ( <b>P13</b> ), de unde se reia o nouă vizualizare de date, de la un alt moment de timp.	17
3. Metodă conform revendicării 2, caracterizată prin aceea că, în scopul diagnosticării stării mașinii electrice supravegheate, subaplicația de diagnosticare off-line ( <b>DiagElectric</b> ) introduce toate datele mașinii electrice ( <b>P19</b> ) supravegheate ca: rezistențe de izolație, capacitate, tangenta unghiului de pierderi a înfășurărilor, rezistențe de izolație anexe ca lagăre, buloane, traductoare etc., încercări cu tensiune mărită, determinări globale ca descărcări parțiale, curenti de absorbție și resorbție, vibrații, termografie etc., rezistențe ohmice ale înfășurărilor, caracteristici electrice la mers în gol, la pornire etc., stare sistem răcire, diverse alte caracteristici ca valoare întrefier etc., apoi ( <b>P20</b> ) se realizează determinarea	41

# RO 125933 B1

1 stării sistemului de izolație, determinarea stării înfășurărilor, determinarea principalelor  
3 caracteristici electrice, determinarea stării sistemului de răcire și a unor caracteristici diverse,  
5 după se realizează diagnosticarea (P21) stării echipamentului, iar la ultimul pas (P22) se  
7 oprește subaplicația de diagnosticare **DiagElectric**.

9 4. Metodă conform revendicărilor 2 și 3, **caracterizată prin aceea că**, în scopul  
11 realizării unor diagnosticări parțiale, subaplicația de diagnosticare off-line (**DiagElectric**)  
contine mai multe subaplicații de diagnosticare a datelor off-line specifice (**DiagElectric**),  
pentru determinarea stării sistemului de izolație, pentru determinarea stării înfășurărilor,  
pentru determinarea principalelor caracteristici electrice, pentru determinarea stării sistemului  
de răcire și a unor caracteristici diverse, pentru determinarea stării echipamentului sau pentru  
estimarea duratei de viață rămase.

# RO 125933 B1

(51) Int.Cl.

G01R 31/34 (2006.01),

G06F 19/00 (2006.01),

G08C 19/00 (2006.01)

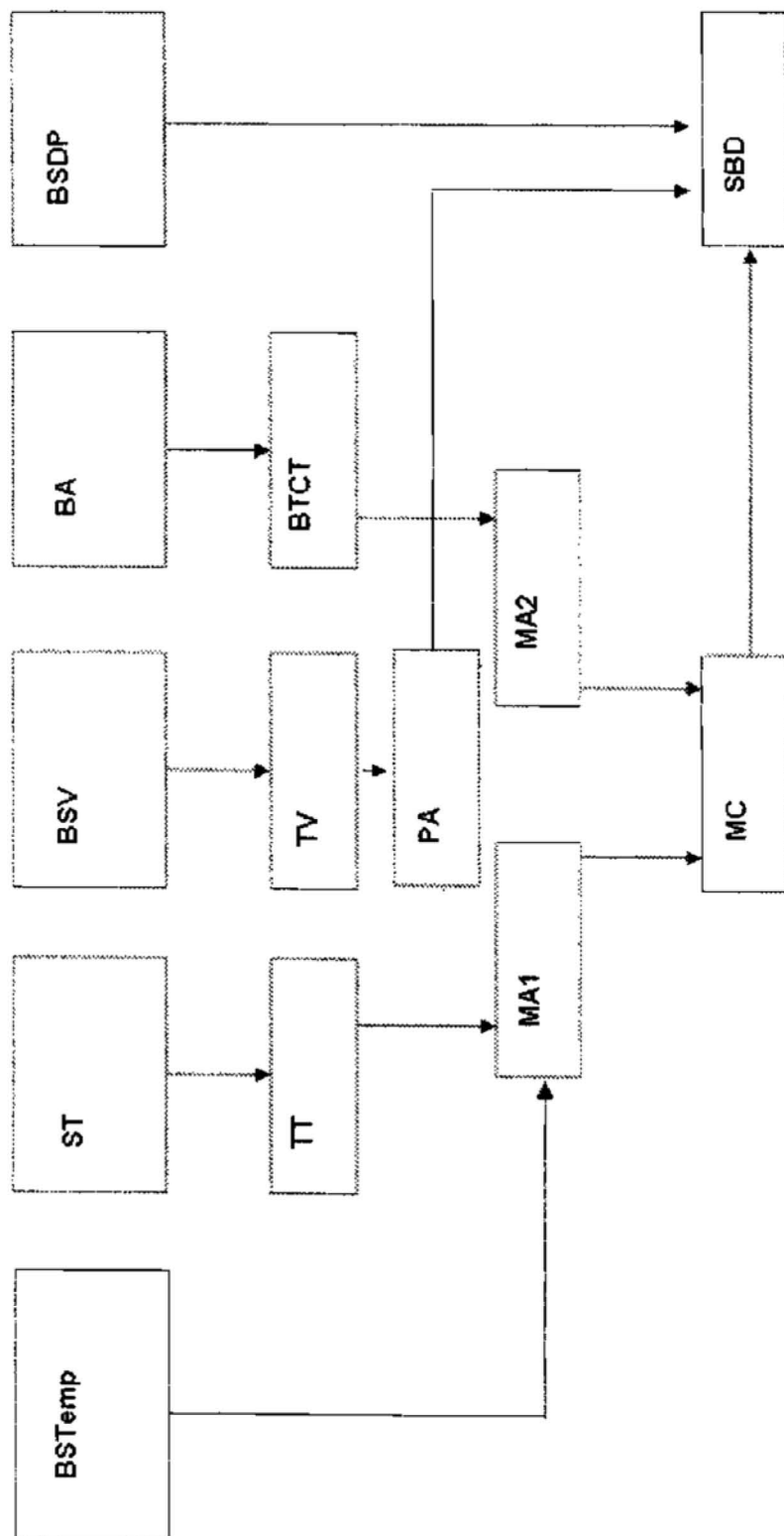


Fig. 1

# RO 125933 B1

(51) Int.Cl.

**G01R 31/34** (2006.01);

**G06F 19/00** (2006.01);

**G08C 19/00** (2006.01)

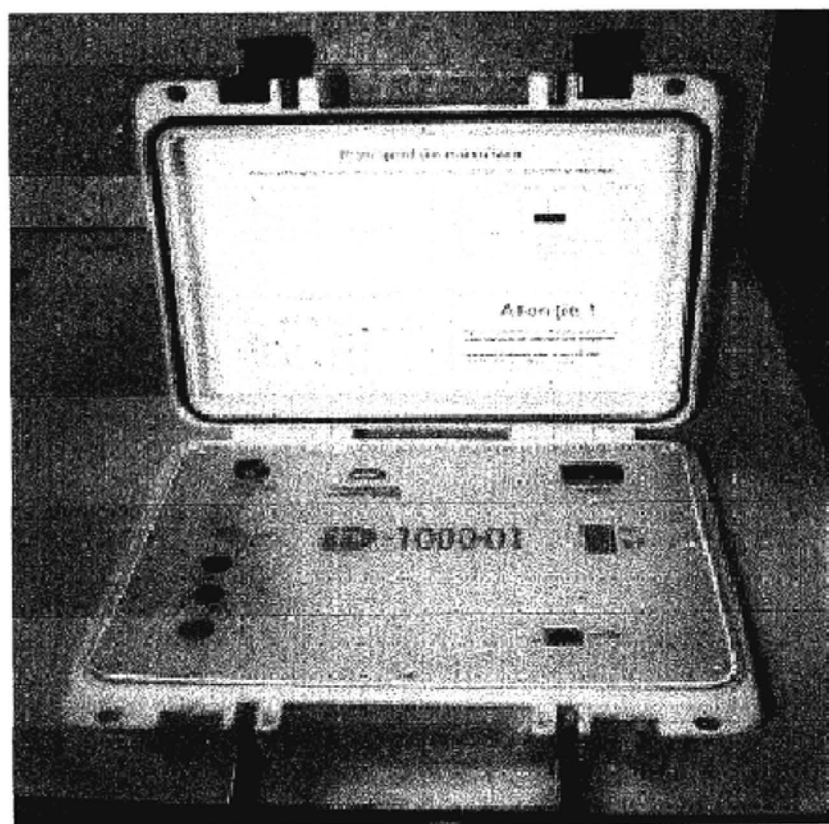
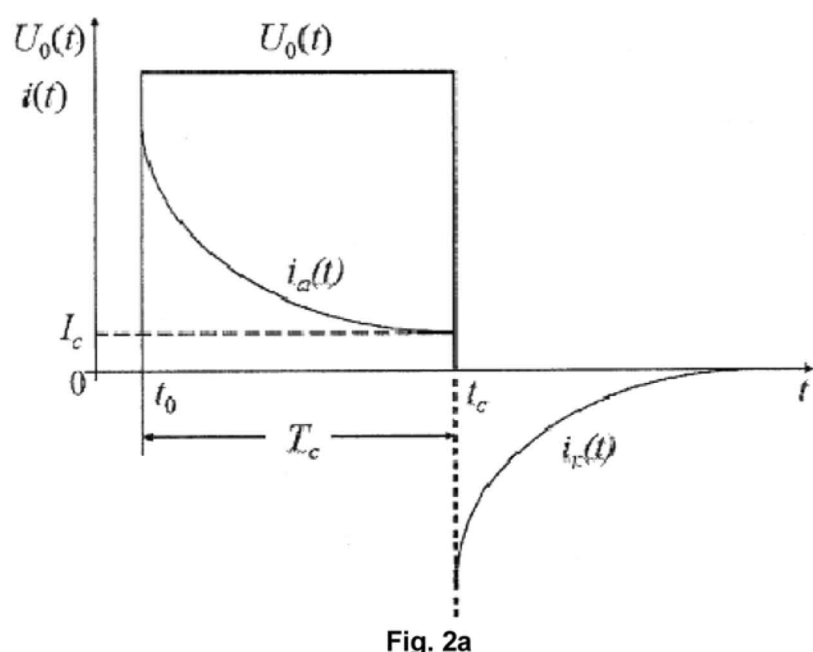


Fig. 2b

# RO 125933 B1

(51) Int.Cl.  
**G01R 31/34** (2006.01).  
**G06F 19/00** (2006.01).  
**G08C 19/00** (2006.01)

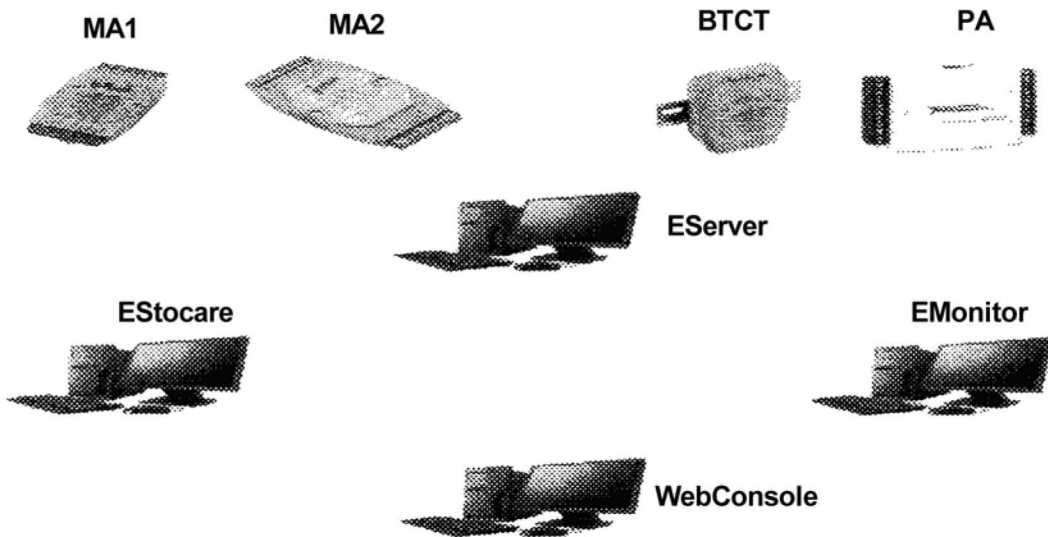


Fig. 3

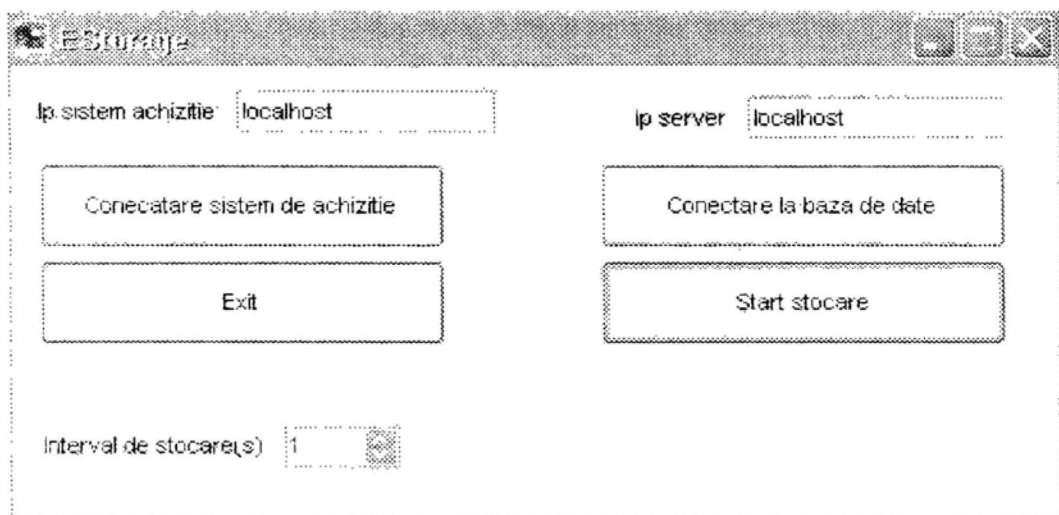


Fig. 4

# RO 125933 B1

(51) Int.Cl.

G01R 31/34 (2006.01),

G06F 19/00 (2006.01),

G08C 19/00 (2006.01)

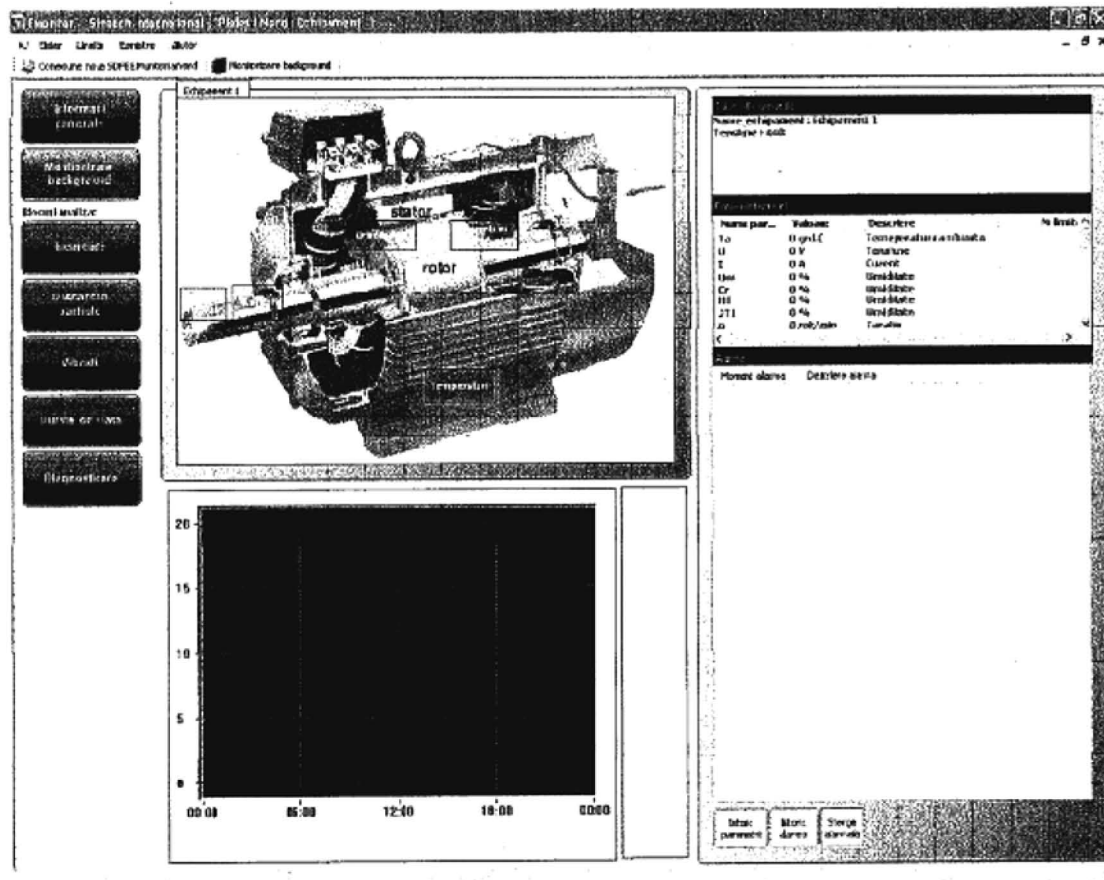


Fig. 5

# RO 125933 B1

(51) Int.Cl.

G01R 31/34 (2006.01),

G06F 19/00 (2006.01),

G08C 19/00 (2006.01)

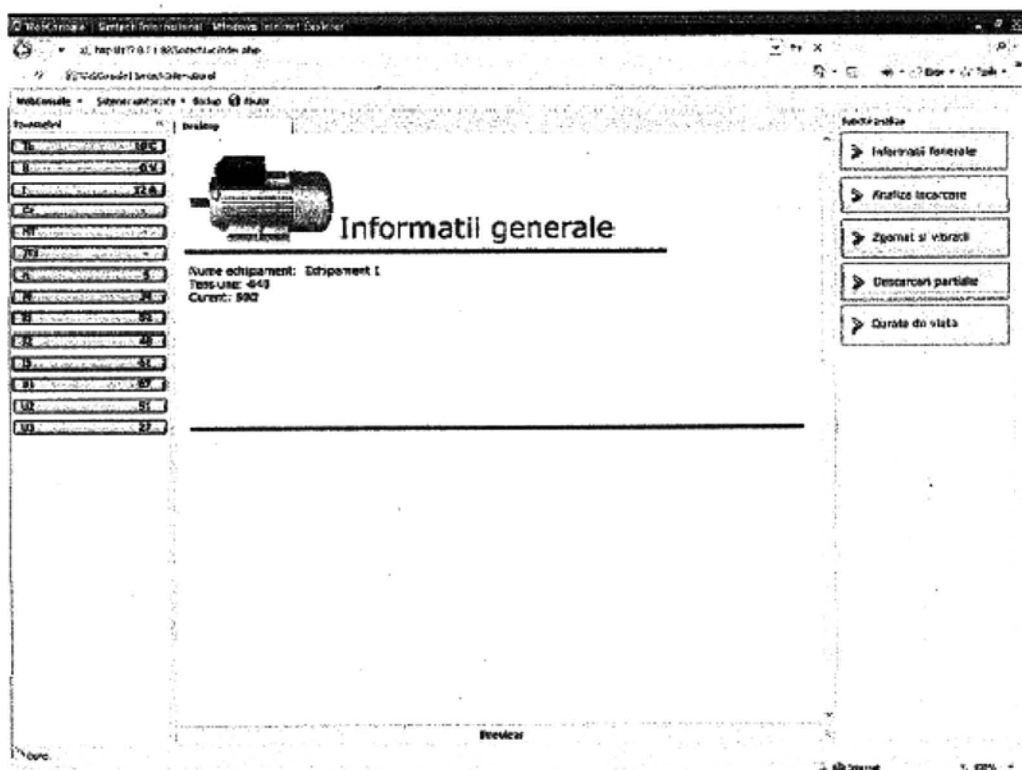


Fig. 6

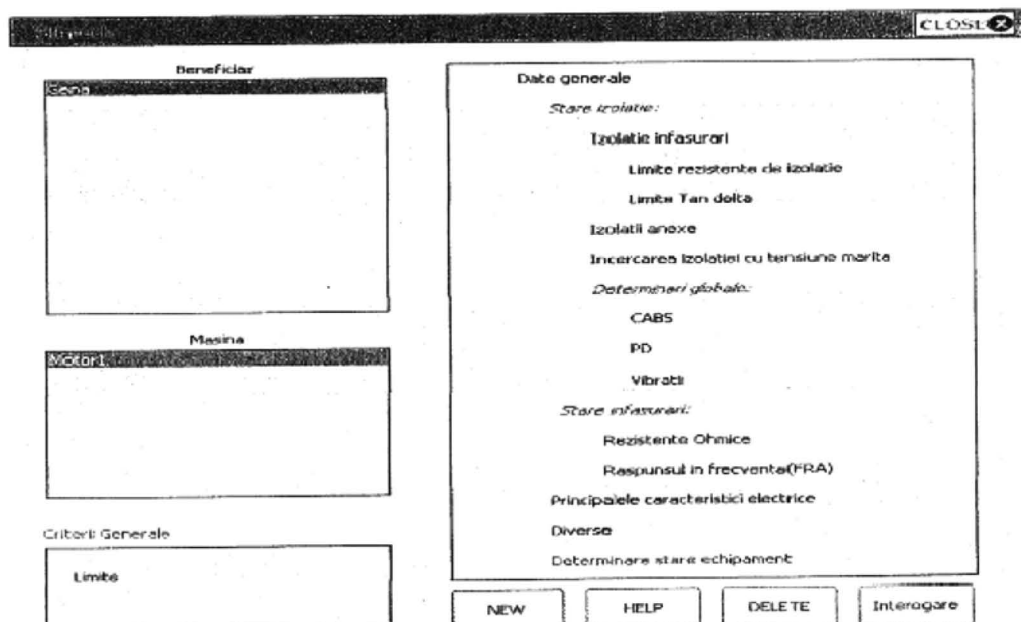
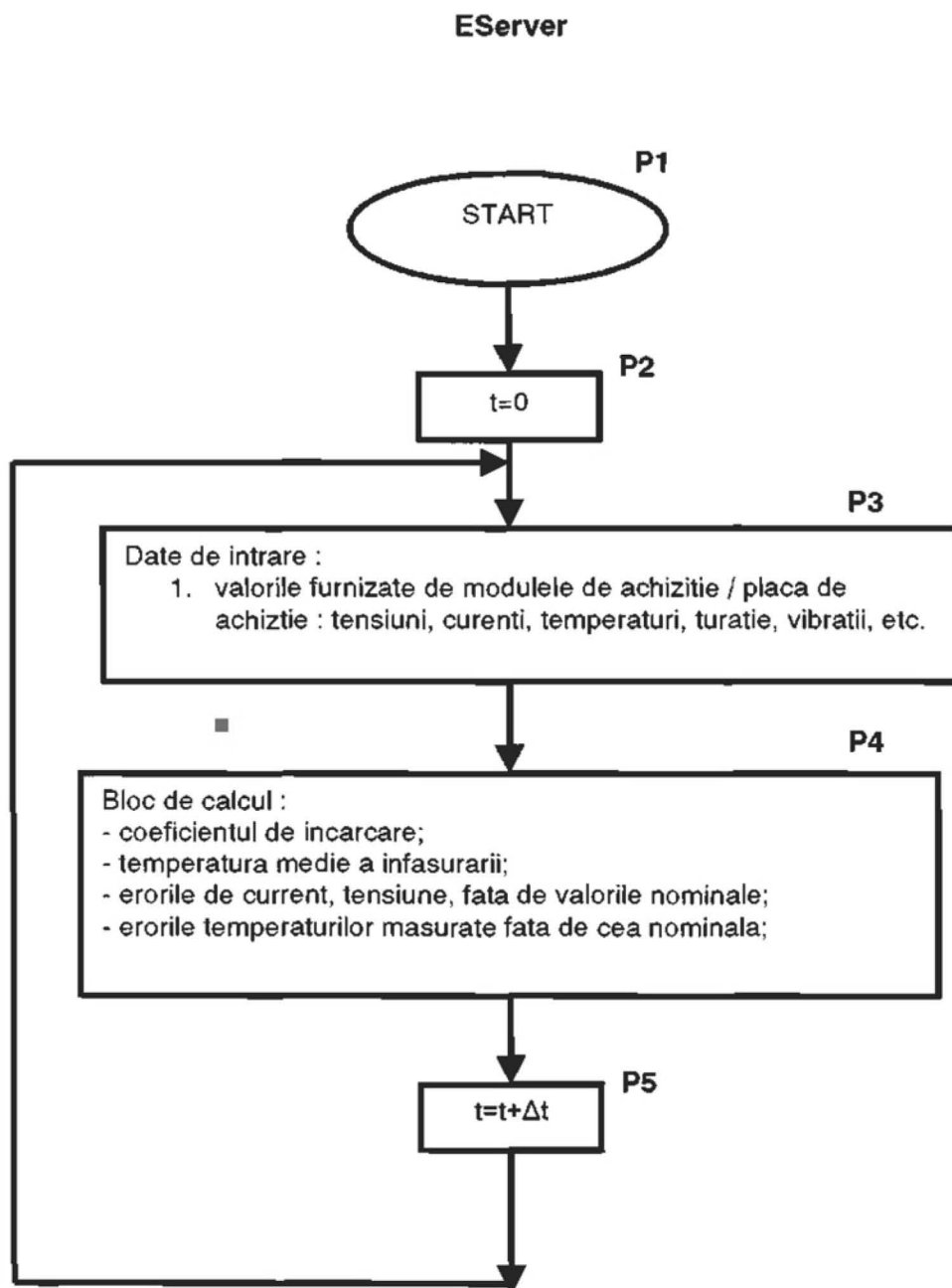


Fig. 7



**Fig. 7a**

## ESTocare

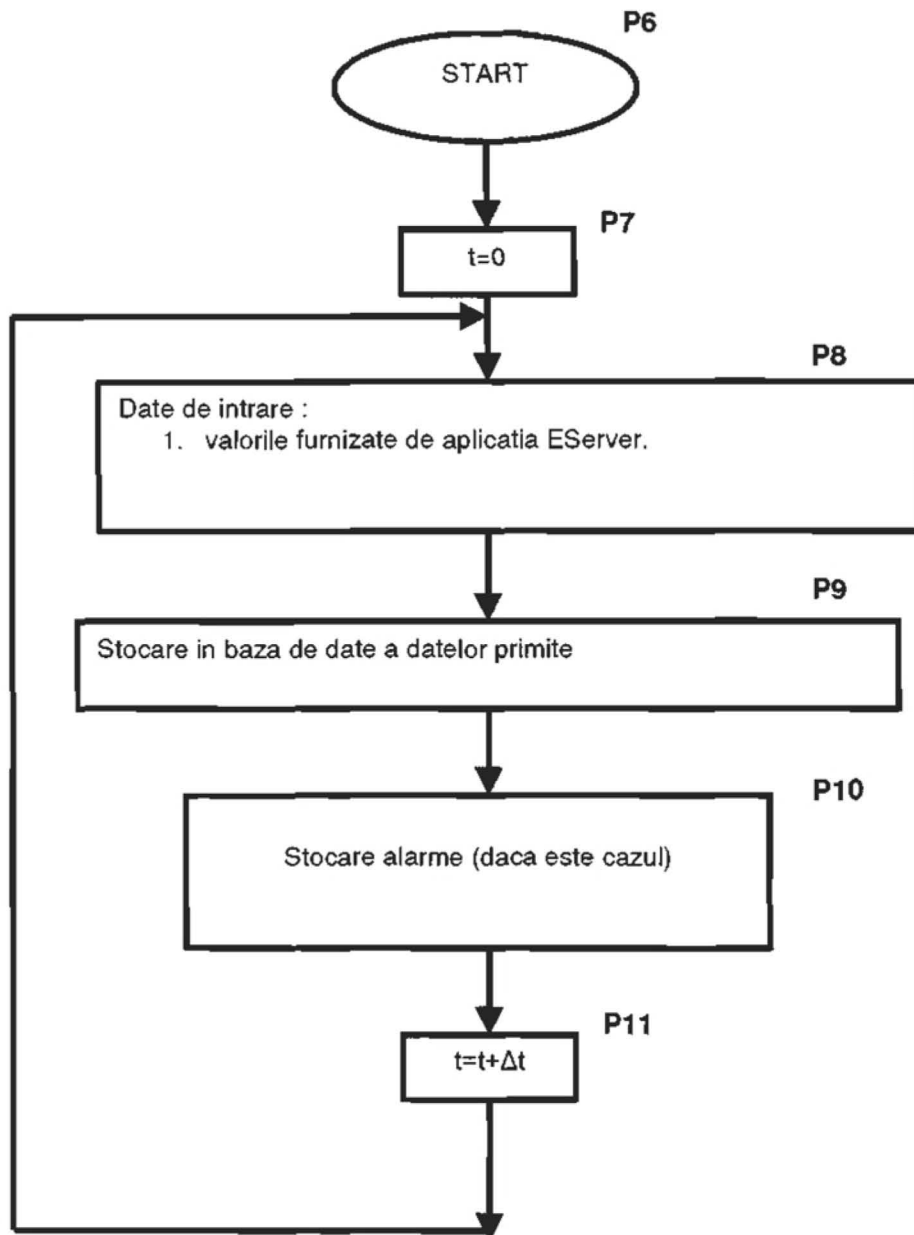


Fig. 7b

(51) Int.Cl.

**G01R 31/34** (2006.01);

**G06F 19/00** (2006.01);

**G08C 19/00** (2006.01)

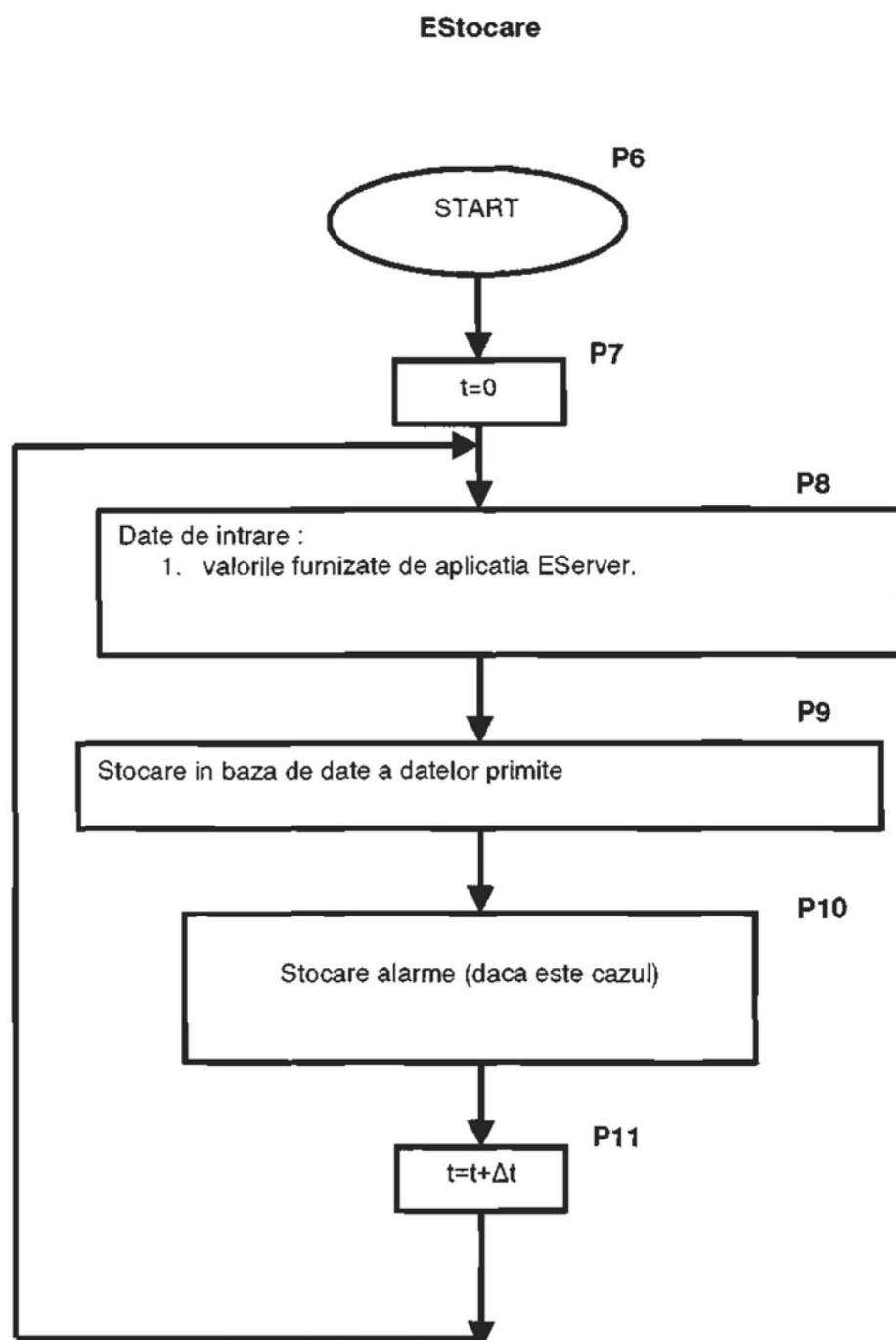


Fig. 7c

(51) Int.Cl.

**G01R 31/34** (2006.01),

**G06F 19/00** (2006.01),

**G08C 19/00** (2006.01)

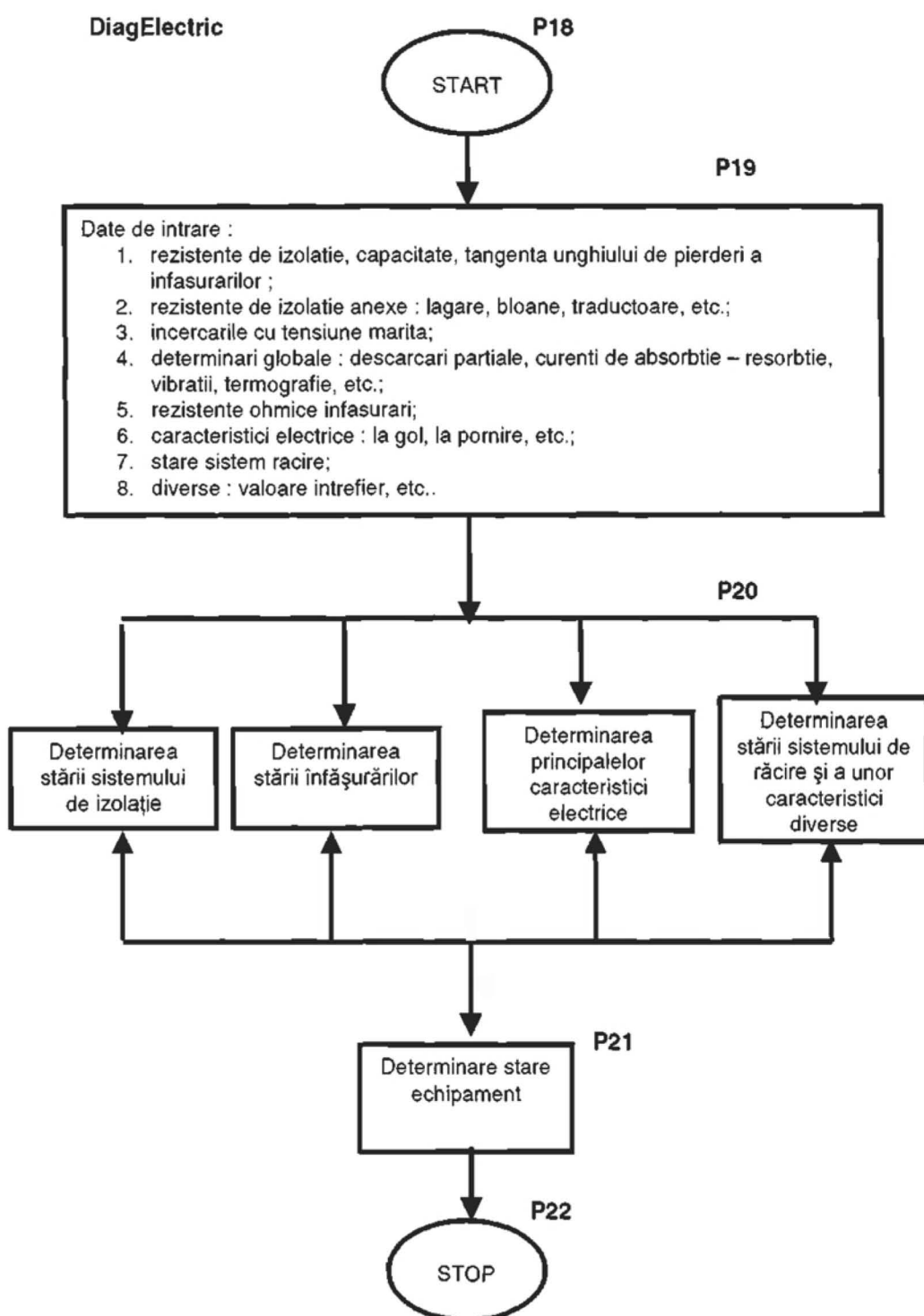


Fig. 7d

(51) Int.Cl.

**G01R 31/34** (2006.01);

**G06F 19/00** (2006.01);

**G08C 19/00** (2006.01)

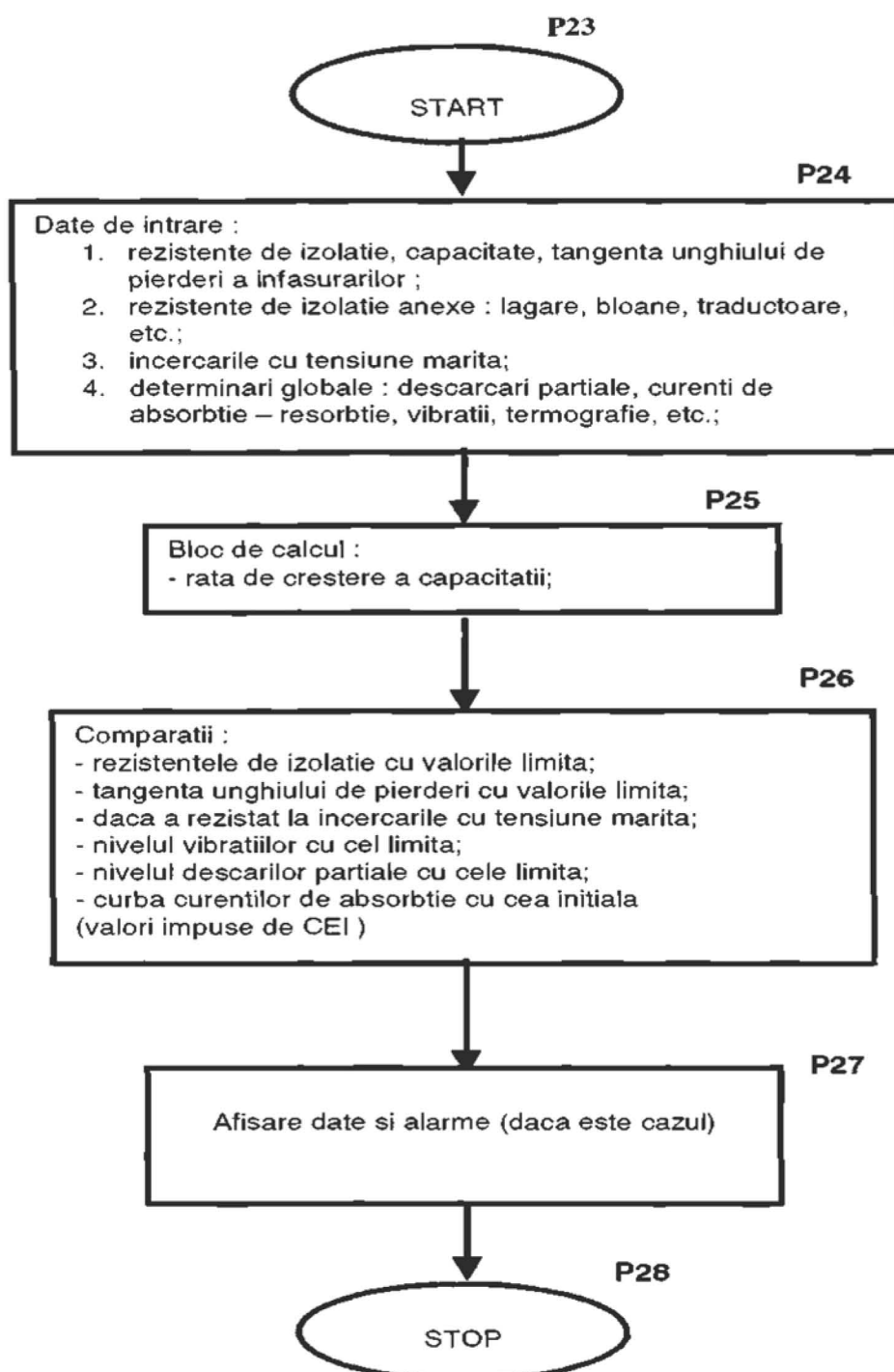


Fig. 7e

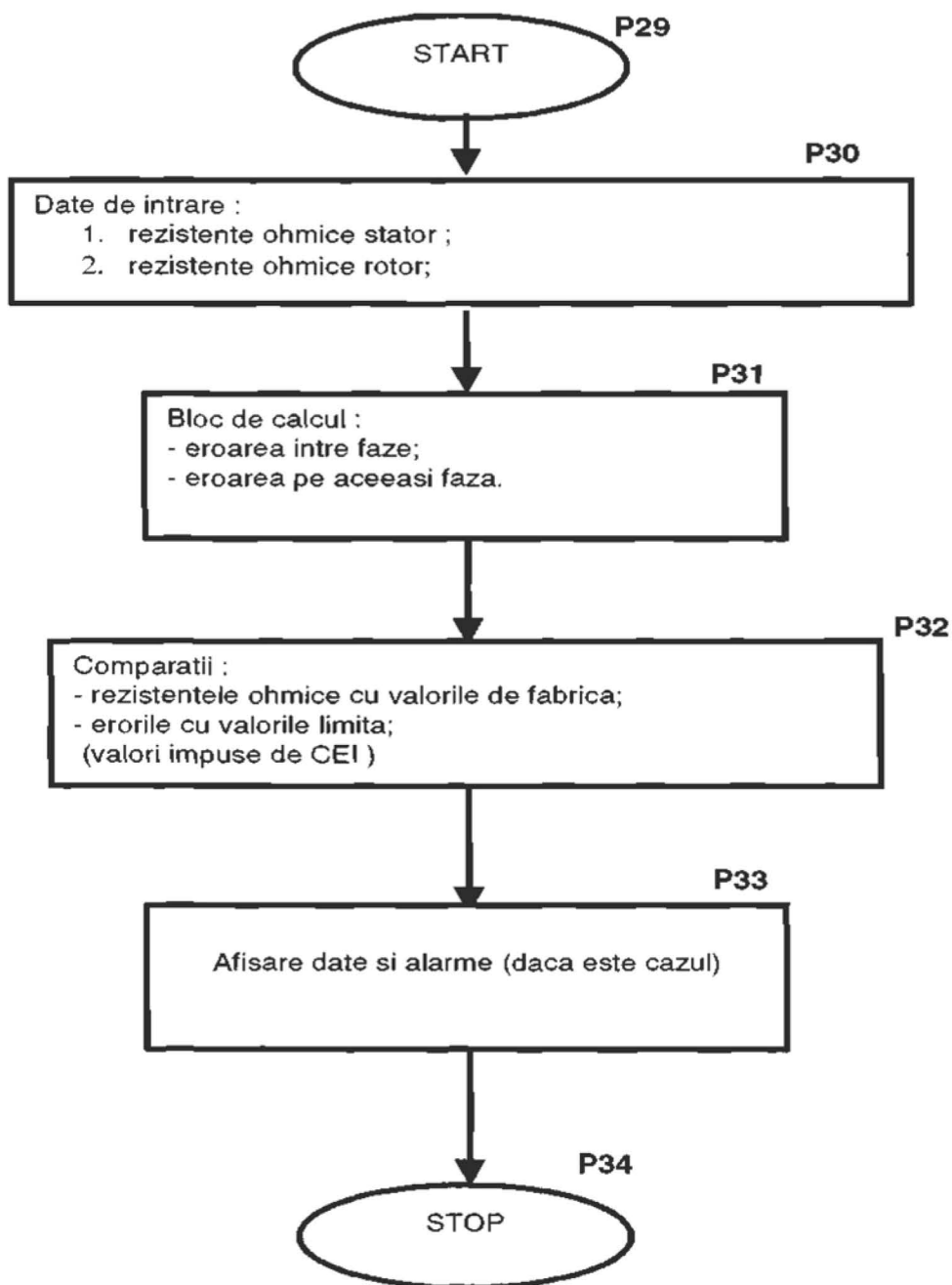


Fig. 7f

(51) Int.Cl.

G01R 31/34 (2006.01);

G06F 19/00 (2006.01);

G08C 19/00 (2006.01)

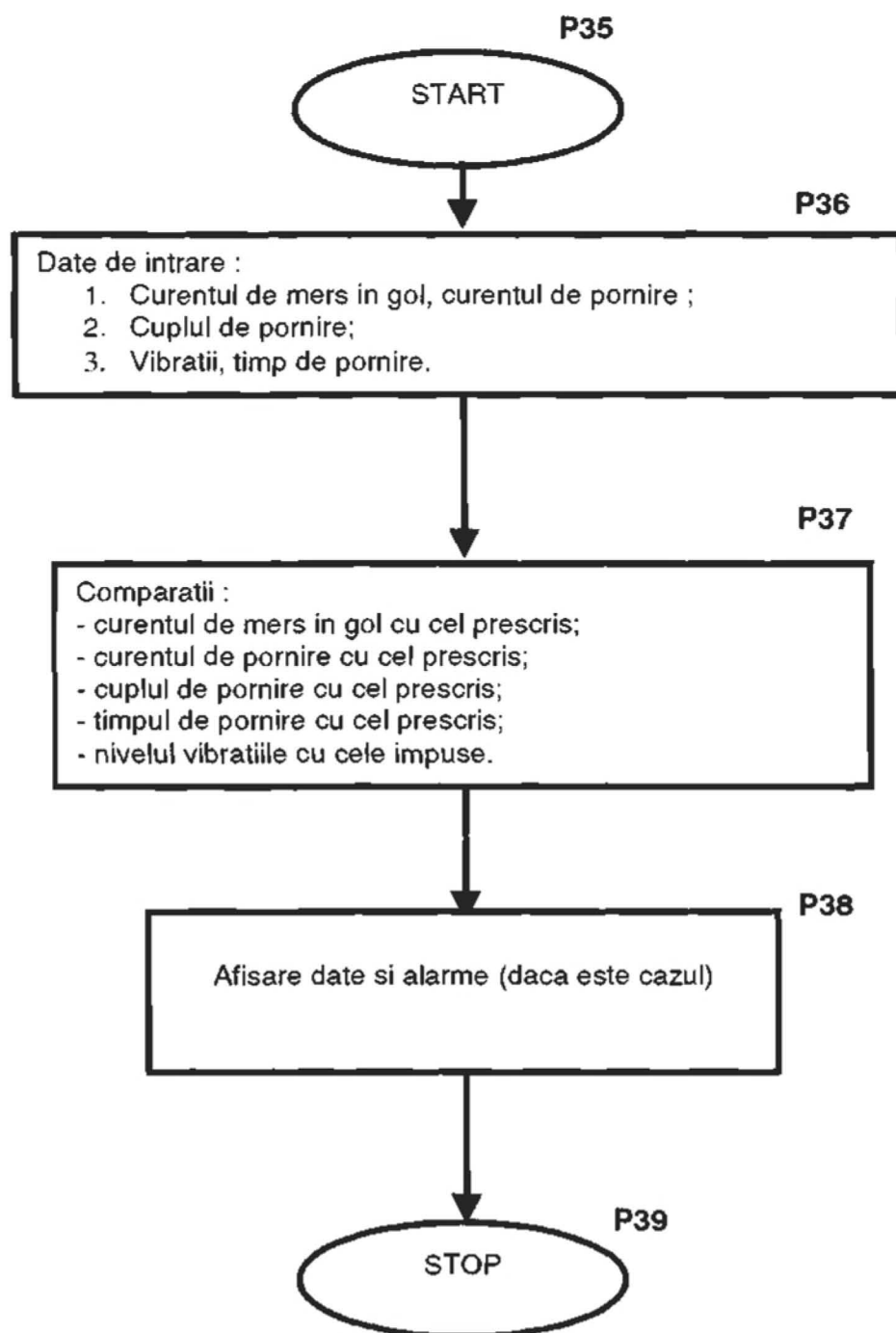


Fig. 7g

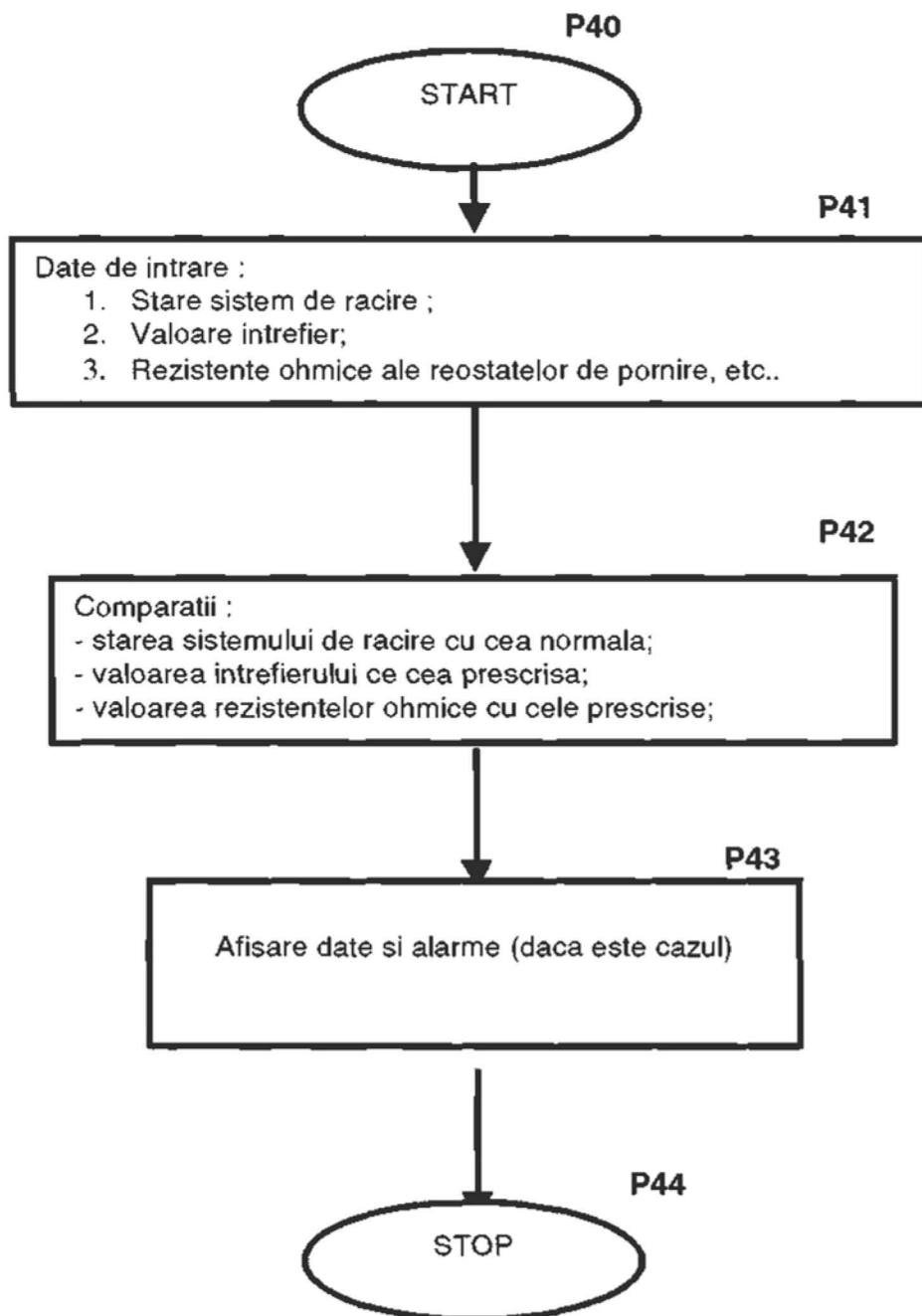


Fig. 7h

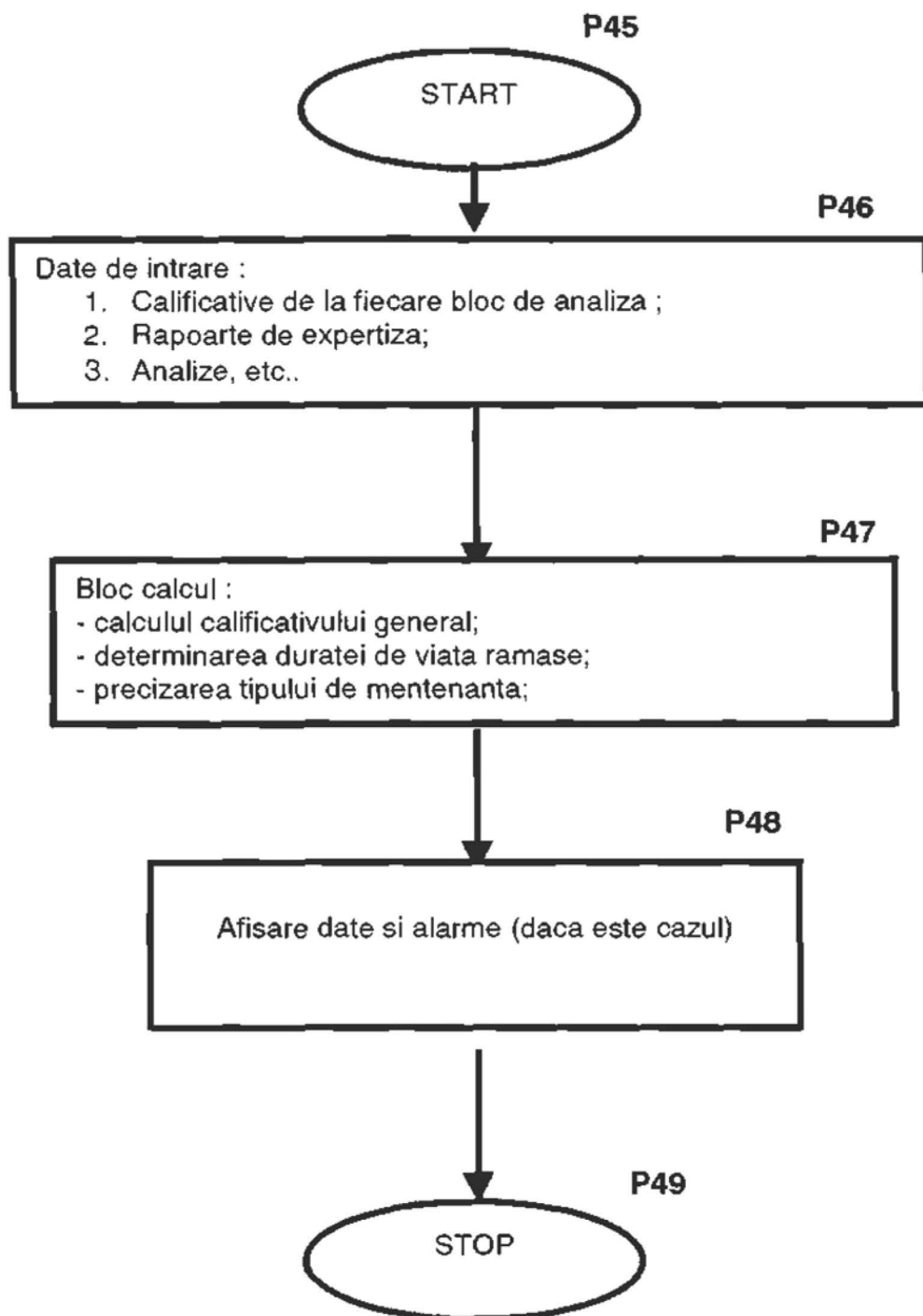


Fig. 7i

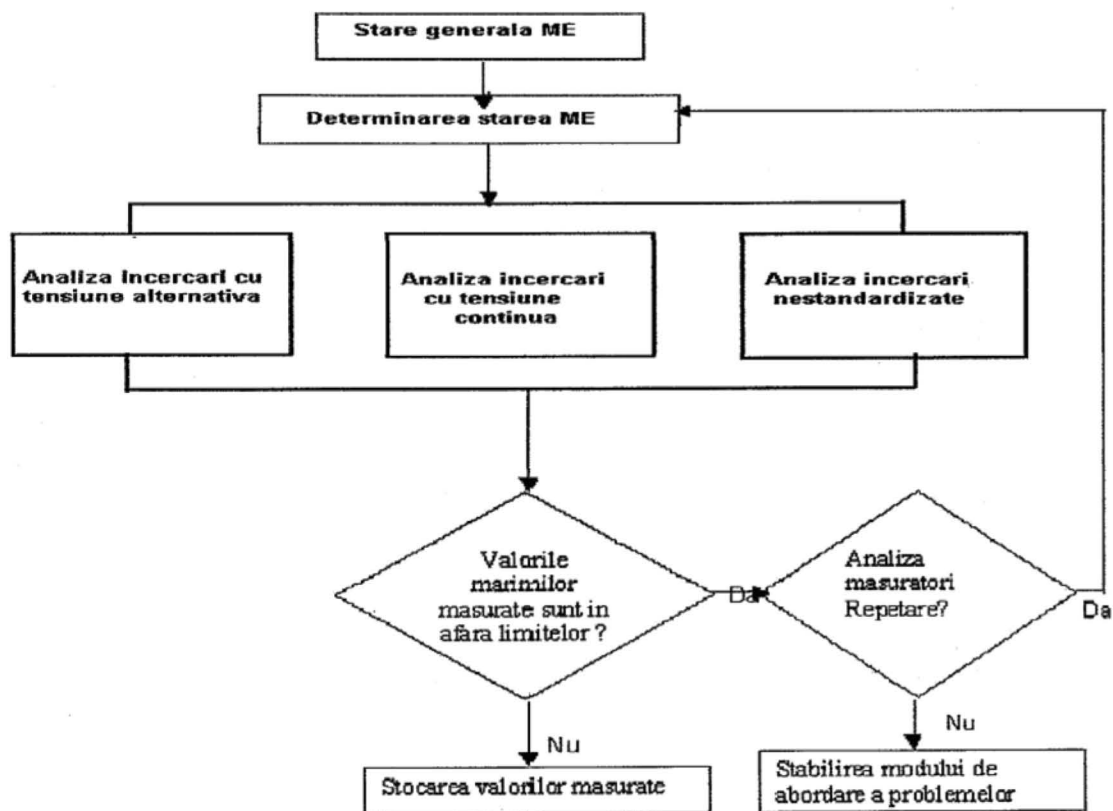


Fig. 8

(51) Int.Cl.

**G01R 31/34** (2006.01);

**G06F 19/00** (2006.01);

**G08C 19/00** (2006.01)

P50

Rezultate măsuratori off-line

P53

Istoric mașina electrică



P51

Rezultate obținute la analiza off-line :

1. Analiza incercari cu tensiune alternativa
2. Analiza incercari cu tensiune continua
3. Analiza incercari nestandardizate



P54

Date generale și statistice :

1. puncte slabe ;
2. rata de defect ;
3. aprecieri facute de experți ;
4. alte date statistice.



P52

Analiza rezultate



P55

Probabilitate de defect



P56

Analiza sigurantei în exploatare



P57

Volumul estimat a duratării sigurante de vîrstă măsurată

Fig. 9

(51) Int.Cl.

*G01R 31/34* (2006.01),*G06F 19/00* (2006.01),*G08C 19/00* (2006.01)

**Beneficiar** Gena **Date generale**

**Datele efectuarii reparatiilor**

Nume	Motol
Echipament	Masina asincrona
Tip	Motor
Producator	Gena Electric
Serie de fabricatie	100
Anul de fabricatie	2008
Putere nominala [kW]	1000
Tensiune nominala [kV]	6
Curent nominal [A]	110
Turata sincrona	1000
Numar faze	3
Fiecenta [Hz]	50
Factor de putere	0.95
Curentul de mers in gol [A]	12
Curentul de pornire [A]	700
Cuplu de pornire [Nm]	1000
Clasa de izolatie	F
Grupa de conexiuni	Y Y
Tip racire	aer
<input type="checkbox"/> Masina este reparata	
<input type="checkbox"/> Masina este in exploatare	
<input checked="" type="checkbox"/> Masina a fost PIF	
<b>Comentariu</b>	
<b>NEW</b>	<b>DELETE</b>
<b>SAVE</b>	<b>CLOSE</b>

Fig. 10

# RO 125933 B1

(51) Int.Cl.

G01R 31/34 (2006.01),

G06F 19/00 (2006.01),

G08C 19/00 (2006.01)

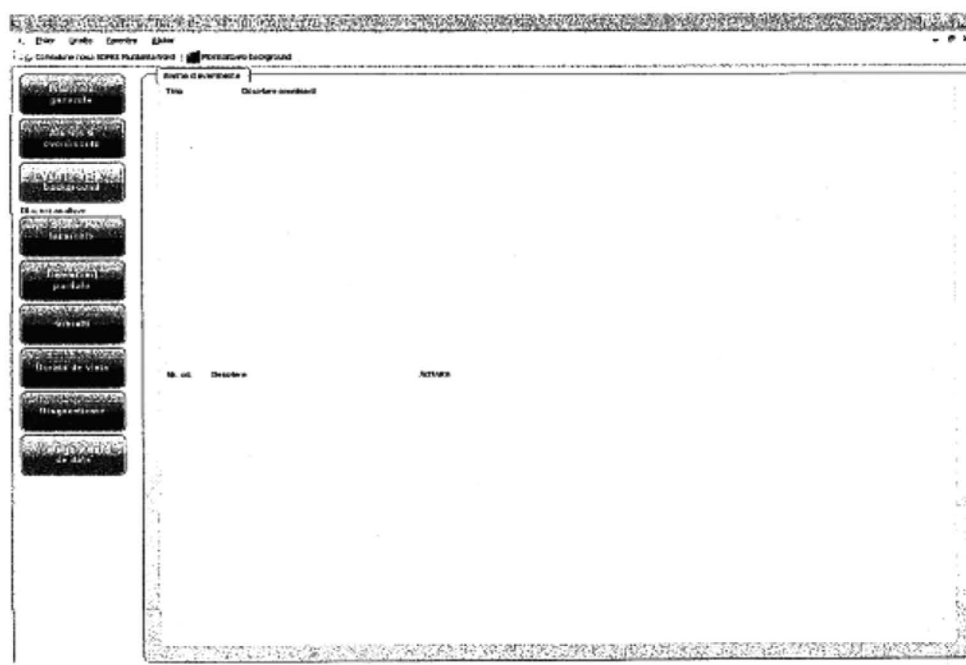


Fig. 11

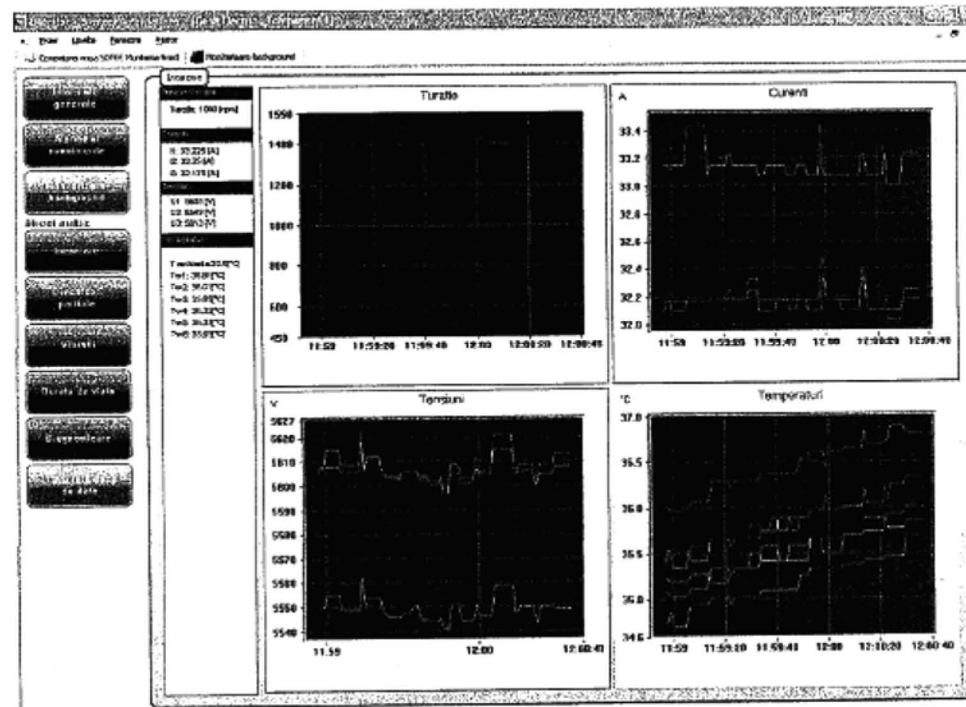


Fig. 12

# RO 125933 B1

(51) Int.Cl.

G01R 31/34 (2006.01),

G06F 19/00 (2006.01),

G08C 19/00 (2006.01)

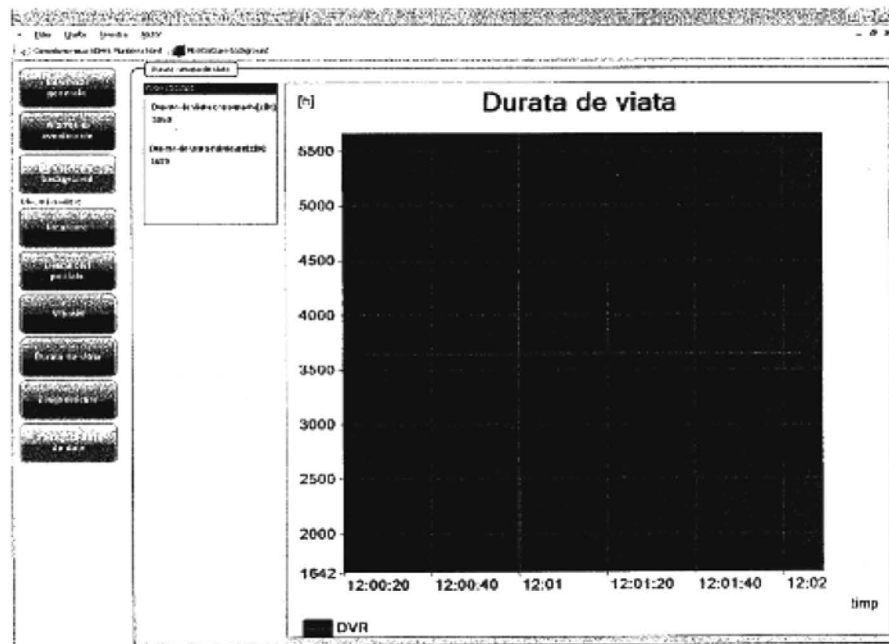


Fig. 13

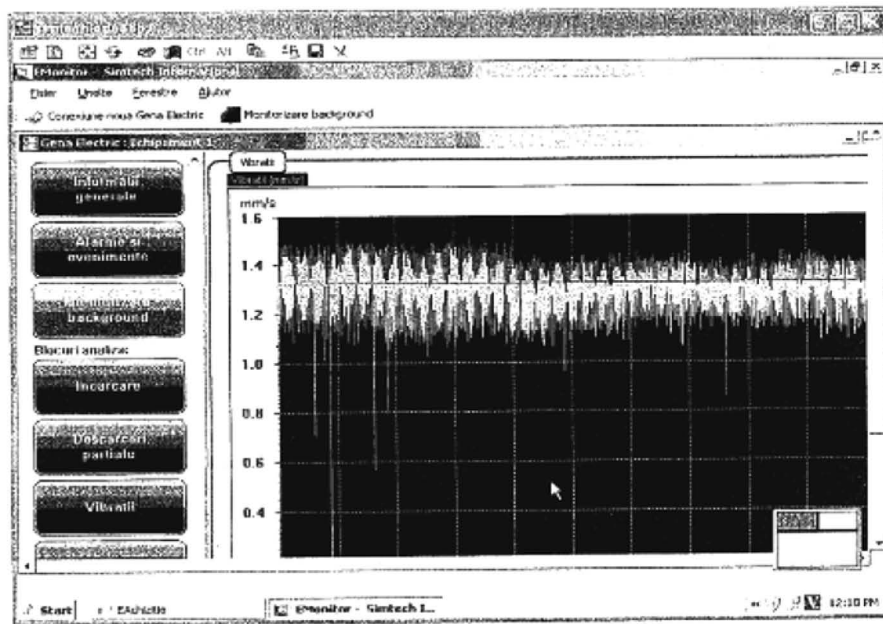


Fig. 14

(51) Int.Cl.

G01R 31/34 (2006.01),

G06F 19/00 (2006.01),

G08C 19/00 (2006.01)

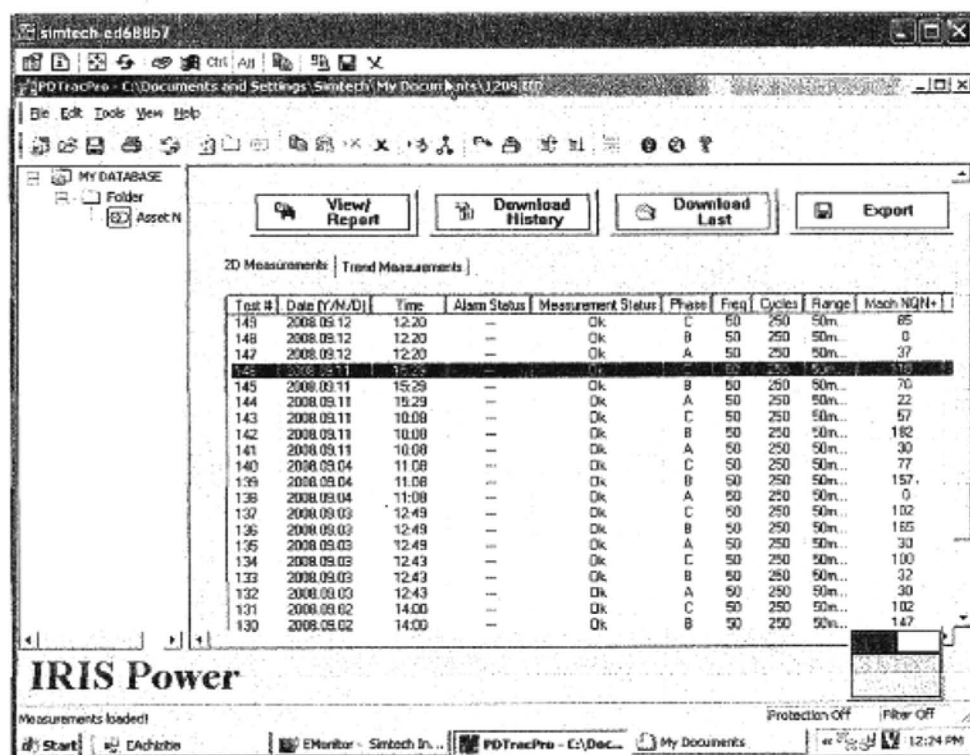


Fig. 15

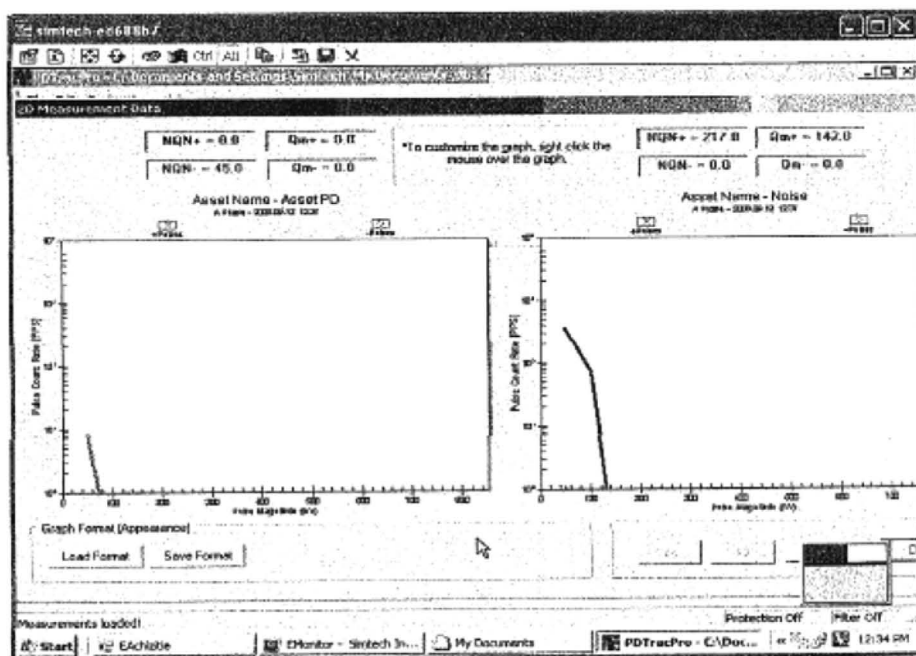


Fig. 16

# RO 125933 B1

(51) Int.Cl.

G01R 31/34 (2006.01),

G06F 19/00 (2006.01),

G08C 19/00 (2006.01)

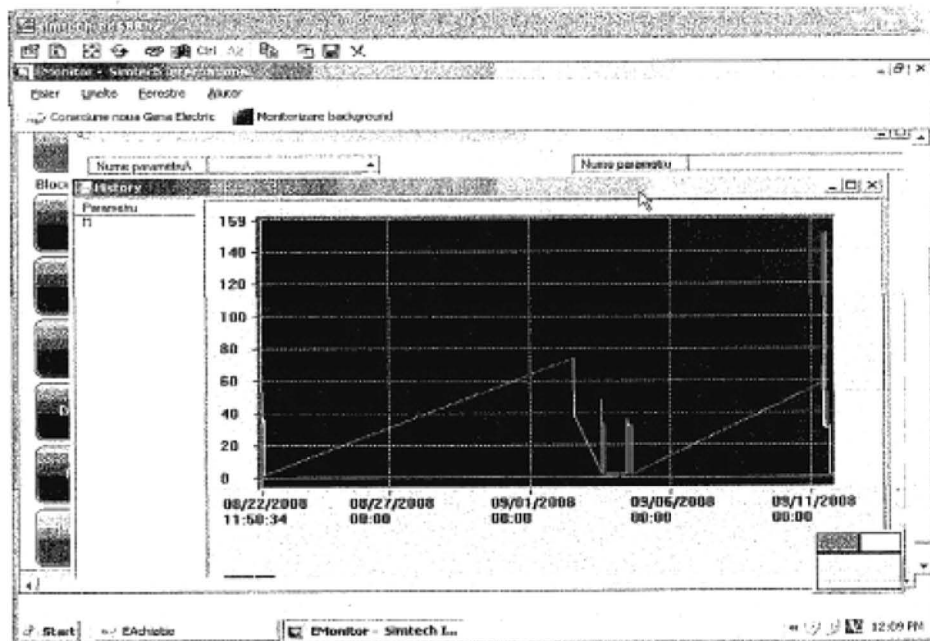


Fig. 17

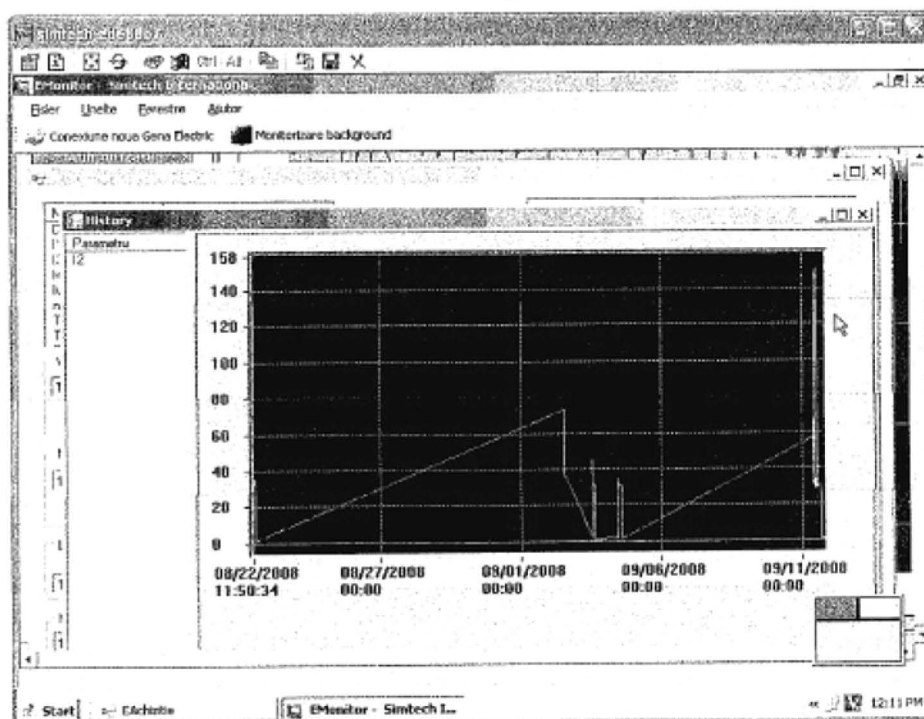


Fig. 18

# RO 125933 B1

(51) Int.Cl.

G01R 31/34 (2006.01),

G06F 19/00 (2006.01),

G08C 19/00 (2006.01)

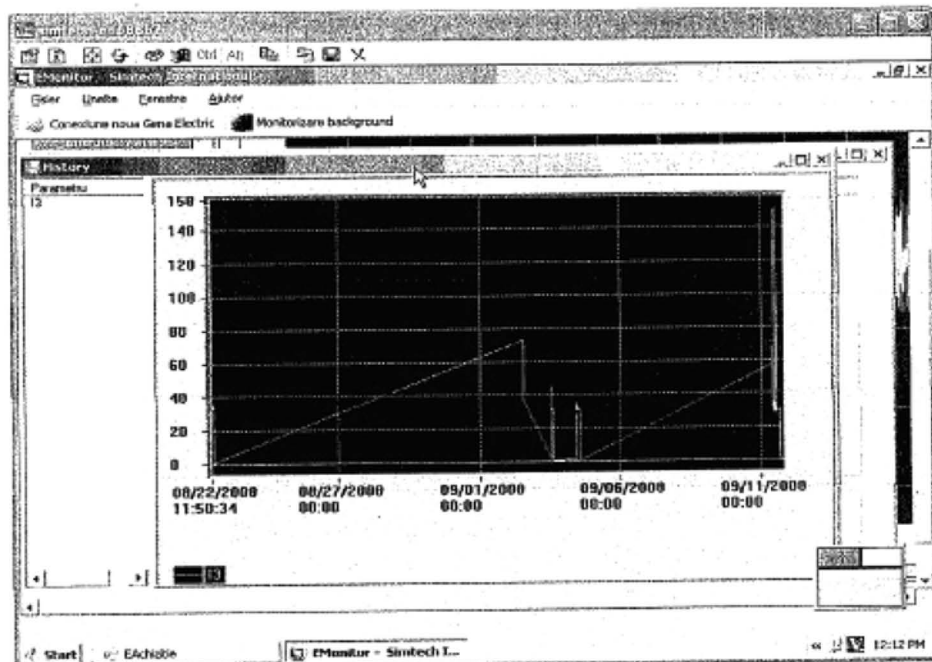


Fig. 19

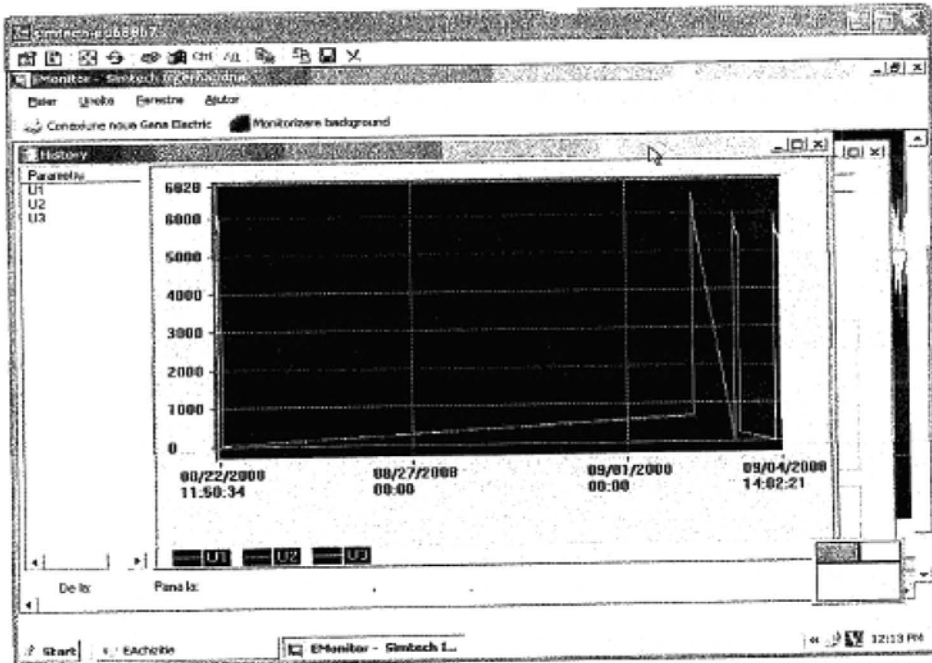


Fig. 20

# RO 125933 B1

(51) Int.Cl.

**G01R 31/34** (2006.01),

**G06F 19/00** (2006.01),

**G08C 19/00** (2006.01)

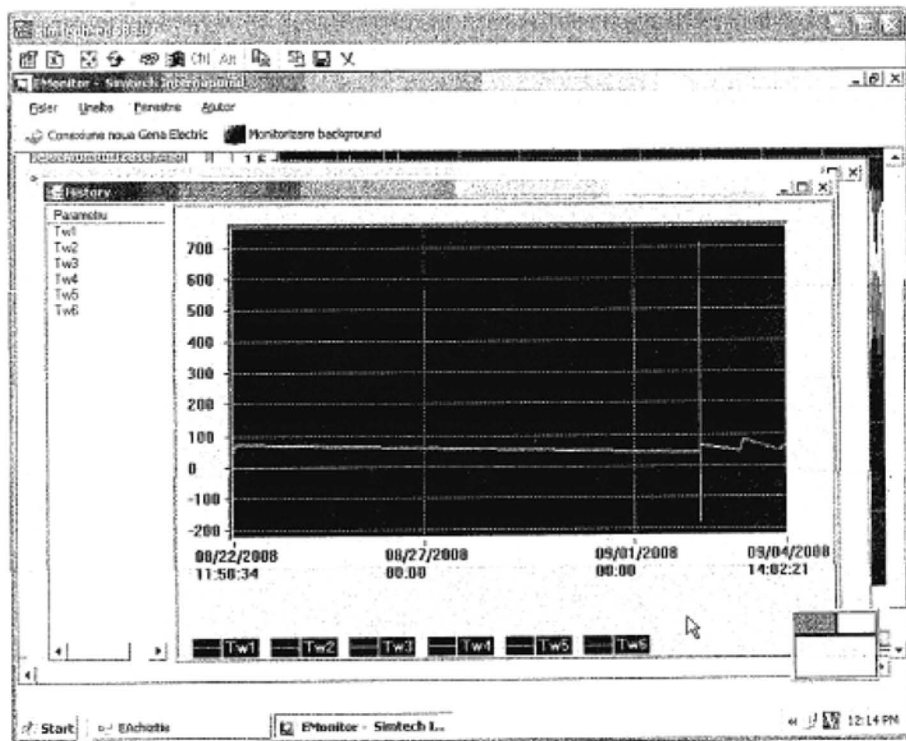


Fig. 21

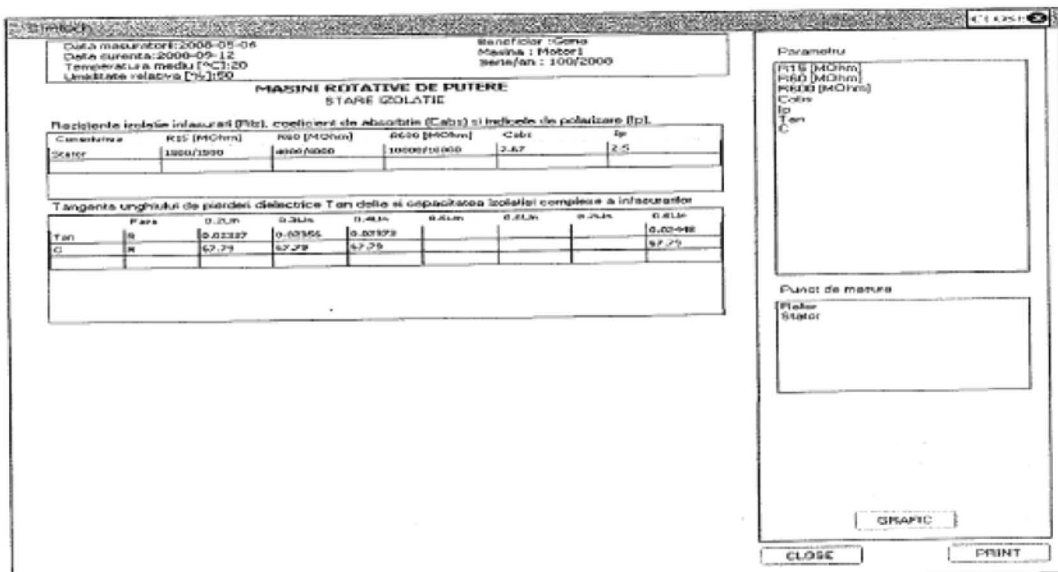


Fig. 22

# RO 125933 B1

(51) Int.Cl.

**G01R 31/34** (2006.01),

**G06F 19/00** (2006.01),

**G08C 19/00** (2006.01)

Data măsurători: 2008-09-08 Data curenție: 2008-09-12 Temperatură medie [°C]: Umiditate relativă [%]:		Generator: Gens Masina: Motor I Serie/lot: 106/2008																									
<b>MASINI ROTATIVE DE PUTERE</b> <b>INCERCAREA ISOLATIEI CU TENSIE MARITA</b>																											
<p>Incercarea izolurilor statice sau tensiune alternativa marca la 50Hz.</p> <table border="1"> <thead> <tr> <th>Faza</th> <th>U incercare</th> <th>salvare</th> </tr> </thead> <tbody> <tr> <td>Faza A</td> <td>12000</td> <td>FB</td> </tr> <tr> <td>Faza B</td> <td>13000</td> <td>FB</td> </tr> <tr> <td>Faza C</td> <td>12000</td> <td>FB</td> </tr> </tbody> </table> <p>Incercarea izolurilor rotative sau tensiune alternativa marca la 50Hz.</p> <table border="1"> <thead> <tr> <th>Faza</th> <th>U incercare</th> <th>salvare</th> </tr> </thead> <tbody> <tr> <td>Faza A</td> <td></td> <td></td> </tr> <tr> <td>Faza B</td> <td></td> <td></td> </tr> <tr> <td>Faza C</td> <td></td> <td></td> </tr> </tbody> </table> <p>U incercare Faza A Faza B Faza C salvare</p>				Faza	U incercare	salvare	Faza A	12000	FB	Faza B	13000	FB	Faza C	12000	FB	Faza	U incercare	salvare	Faza A			Faza B			Faza C		
Faza	U incercare	salvare																									
Faza A	12000	FB																									
Faza B	13000	FB																									
Faza C	12000	FB																									
Faza	U incercare	salvare																									
Faza A																											
Faza B																											
Faza C																											
		Punct de măsură   																									
<input type="button" value="CLOSE"/> <input type="button" value="PRINT"/> <input type="button" value="GRAFIC"/>																											

Fig. 23

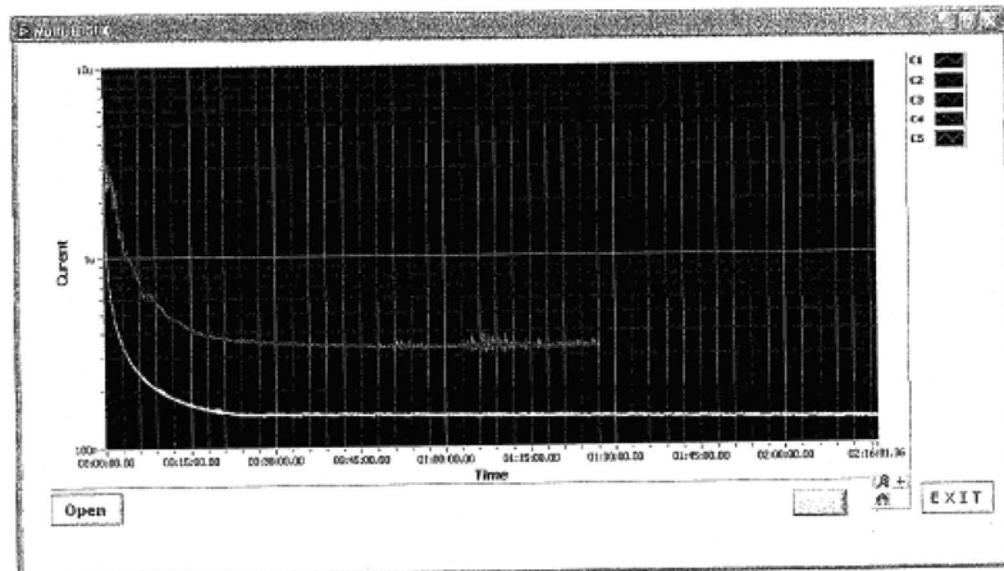


Fig. 24

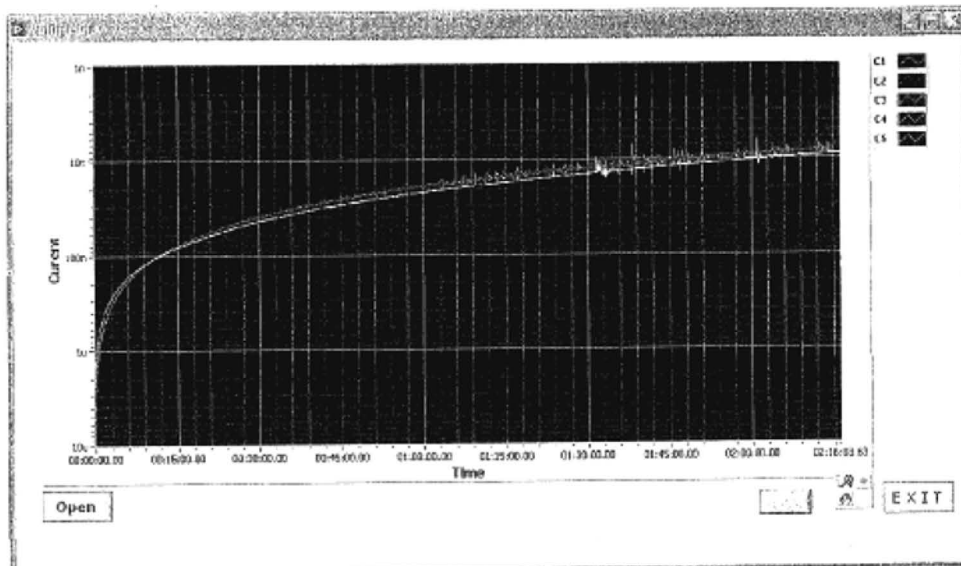
RO 125933 B1

(51) Int.Cl.

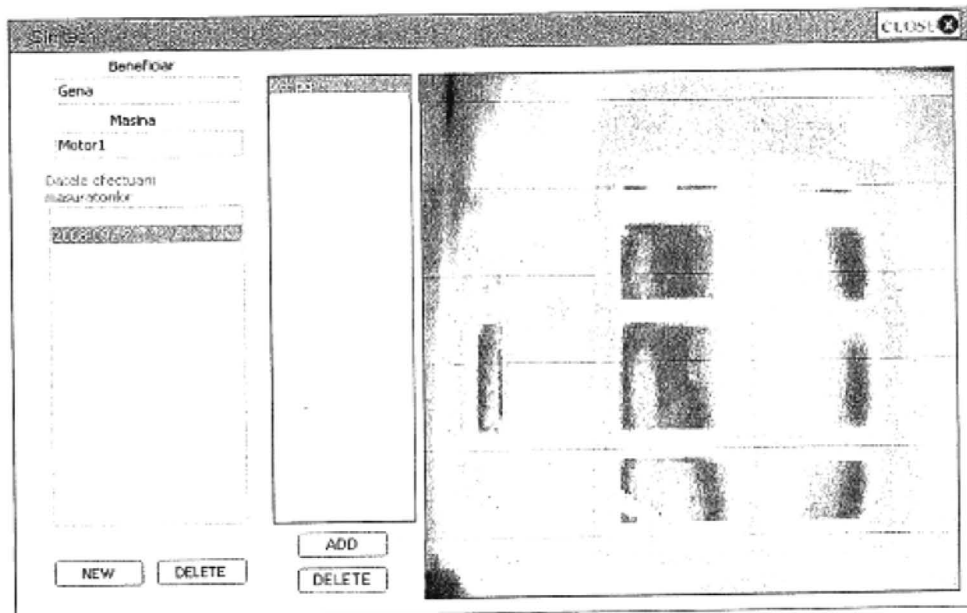
G01R 31/34 (2006.01).

G06F 19/00 (2006.01).

G08C 19/00 (2006.01)



**Fig. 25**



**Fig. 26**

(51) Int.Cl.

**G01R 31/34** (2006.01);

**G06F 19/00** (2006.01);

**G08C 19/00** (2006.01)

Calificative	
1. Stare izolatie	
1.1. Izolatie înșurățită	Calificativ: FB
1.1.1. Rie	Calificativ: FB <input checked="" type="checkbox"/>
1.1.2. Tanu	Calificativ: FB <input checked="" type="checkbox"/>
1.2. Izolati anexe	Calificativ: <input checked="" type="checkbox"/>
1.3. Încercarea izolatiei cu terilune marita	Calificativ: FB <input checked="" type="checkbox"/>
1.4. Determinari globale	Calificativ:
1.4.1. CABS	Calificativ: FB <input checked="" type="checkbox"/>
1.4.2. PD	Calificativ: FB <input checked="" type="checkbox"/>
1.4.3. Vibratii	Calificativ: FB <input checked="" type="checkbox"/>
2. Rezistențe chimice	Calificativ: FB <input checked="" type="checkbox"/>
3. Principiile caracteristicilor electrice	Calificativ: FB <input checked="" type="checkbox"/>
4. Stare sistem cadre	Calificativ: FB <input checked="" type="checkbox"/>
5. Diverse	Calificativ: FB <input checked="" type="checkbox"/>
6. Vechime	Calificativ: FB <input checked="" type="checkbox"/>

Estimarea durată de viață ramasă

Temperatură   $\rightarrow$  Ucior termică a izolatiei

Grad de imbraținare [%]

Durata de viață a mașinii [ani]

Durata de viață ramasă

Calucalaza

Tip menținere

Menținere minoră I

12 Septembrie 2008

Selectează data exactă  Selectează data cea mai apropiată

Punctaj obținut: 14 Calificativ general: FB

CLOSE SAVE Save Raport

Fig. 27



Editare și tehnoredactare computerizată - OSIM  
Tipărit la: Oficiul de Stat pentru Inventii și Mărci  
sub comanda nr. 379/2012